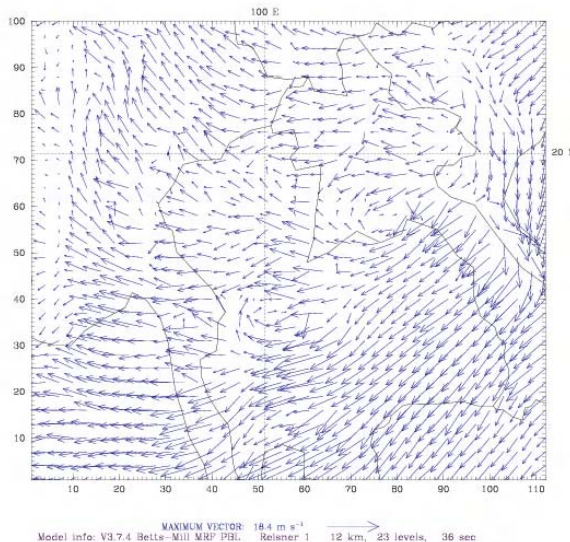
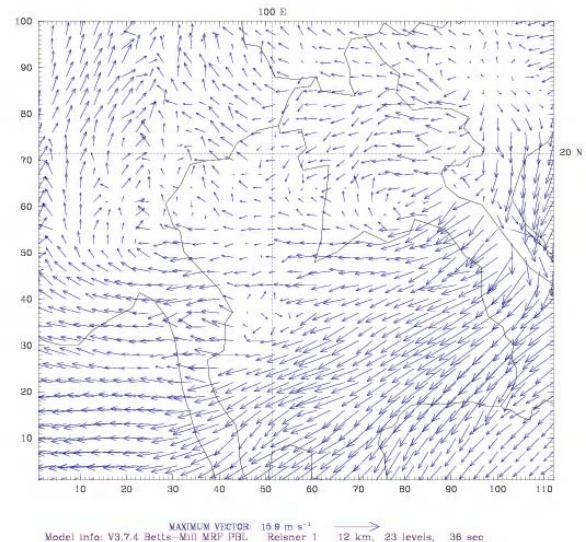


MM5–Forecast, Atmospheric Physics, Chiangmai Univ Init: 1800 UTC Sun 17 Feb 08
 Forecast: 30.00 h Valid: 0000 UTC Tue 19 Feb 08 (0700 LST Tue 19 Feb 08)
 at k-index = 23

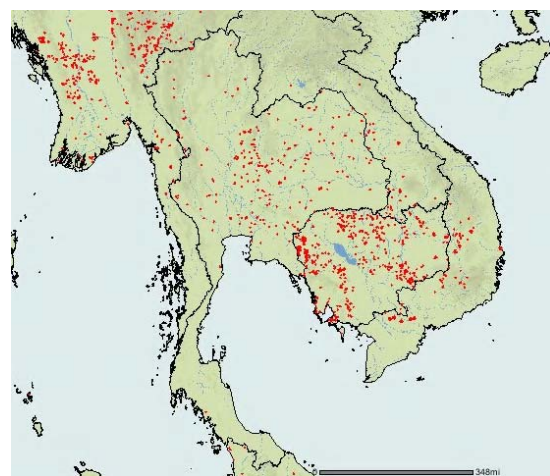
MM5–Forecast, Atmospheric Physics, Chiangmai Univ Init: 1800 UTC Sun 17 Feb 08
 Forecast: 39.00 h Valid: 0900 UTC Tue 19 Feb 08 (1600 LST Tue 19 Feb 08)
 at k-index = 23



(η)



(ψ)

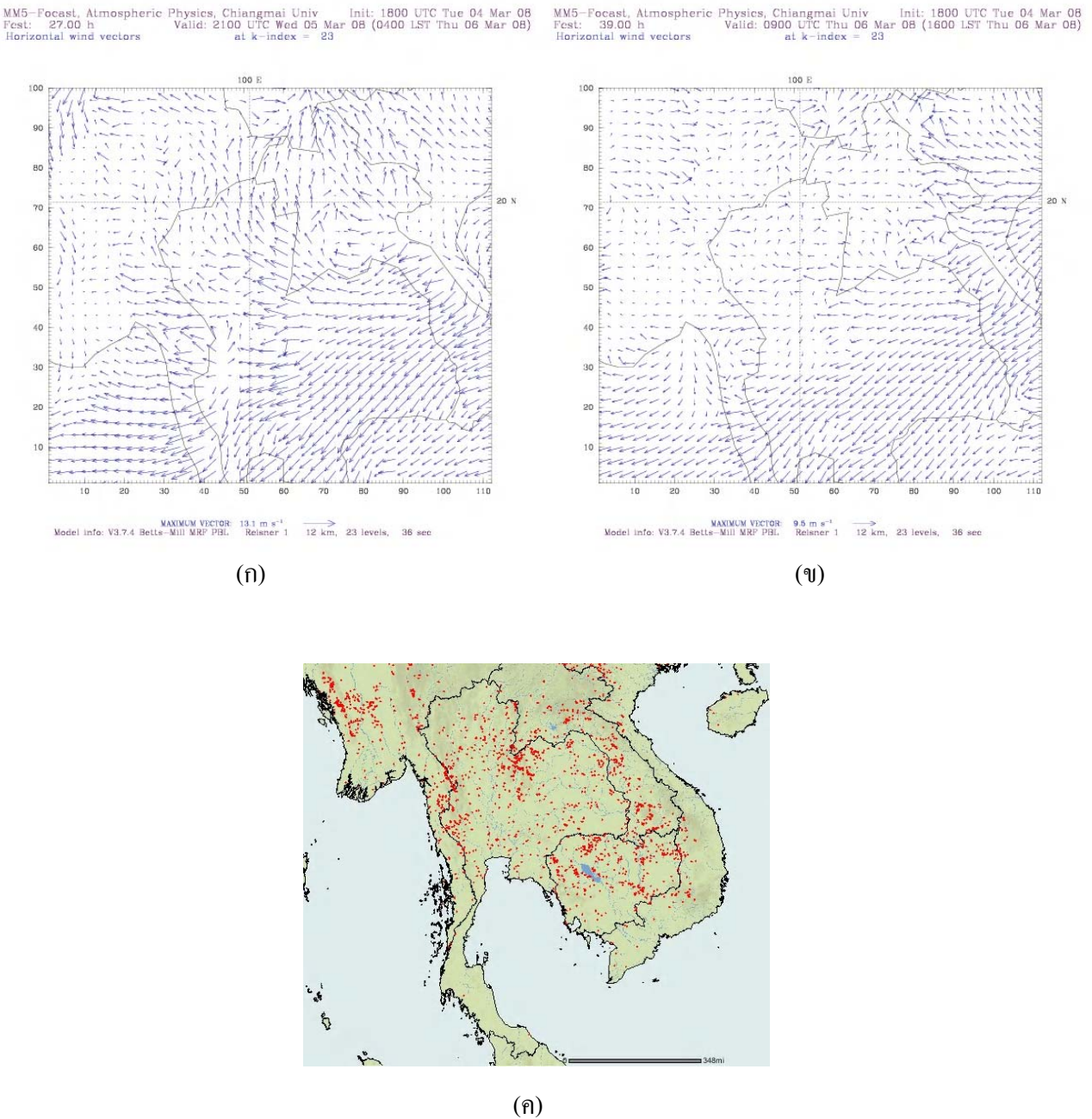


(κ)

รูปที่ 3-13 ภาพ Hot Spot และความเร็วลมตามแนวราบที่ระดับผิวน้ำ วันที่ 19 กุมภาพันธ์ 2551

(ก) ความเร็วลม ณ เวลา 07.00 น. (ข) ความเร็วลม ณ เวลา 16.00 น.

(ค) ภาพ Hot Spot วันที่ 18-19 กุมภาพันธ์ 2551



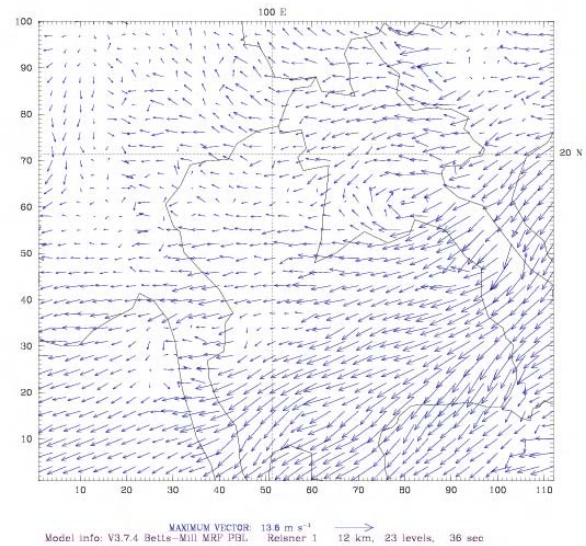
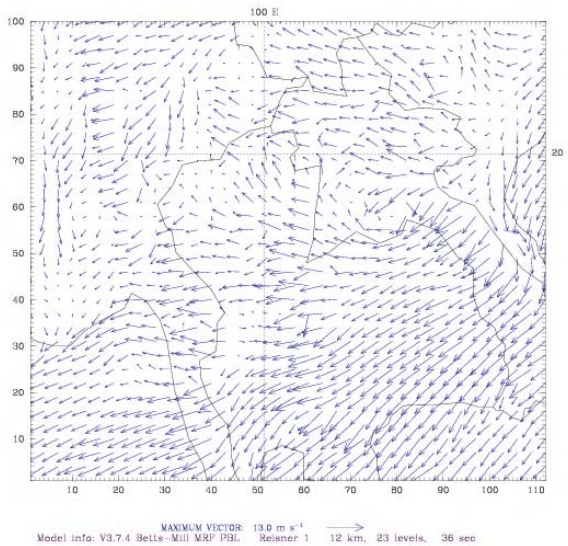
รูปที่ 3-14 ภาพ Hot Spot และความเร็วลมตามแนวราบที่ระดับผิวน้ำ วันที่ 6 มีนาคม 2551

(ก) ความเร็วลม ณ เวลา 04.00 น. (ข) ความเร็วลม ณ เวลา 16.00 น.

(ค) ภาพ Hot Spot วันที่ 5-6 มีนาคม 2551

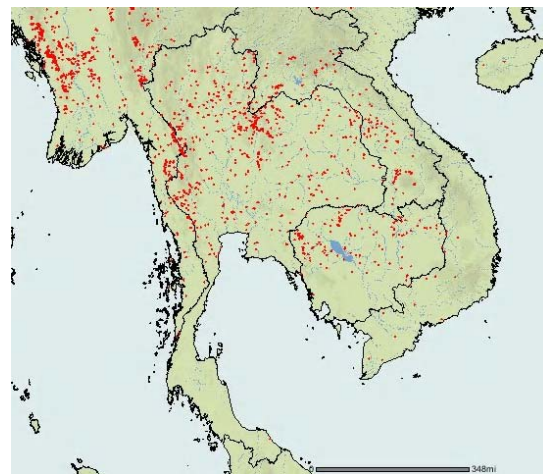
MM5-Focast, Atmospheric Physics, Chiangmai Univ Init: 1800 UTC Tue 04 Mar 08
 Fest: 51.00 h Valid: 2100 UTC Thu 06 Mar 08 (0400 LST Fri 07 Mar 08)
 Horizontal wind vectors at k-index = 23

MM5-Focast, Atmospheric Physics, Chiangmai Univ Init: 1800 UTC Tue 04 Mar 08
 Fest: 63.00 h Valid: 0900 UTC Fri 07 Mar 08 (1600 LST Fri 07 Mar 08)
 Horizontal wind vectors at k-index = 23



(n)

(ψ)



(κ)

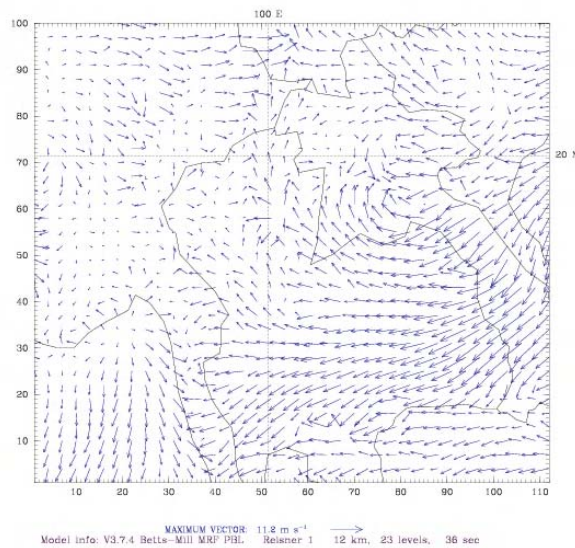
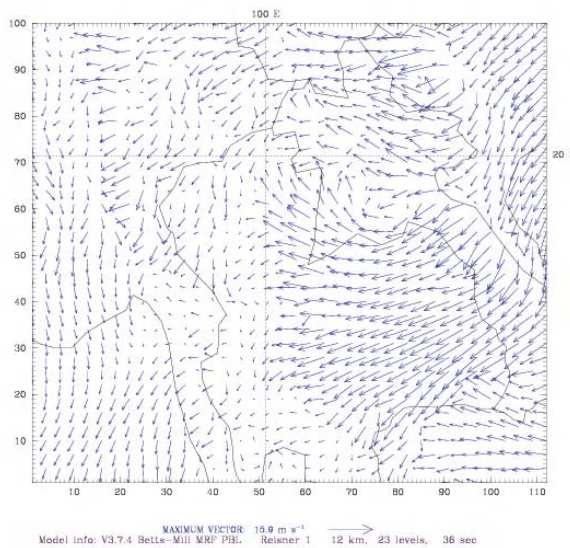
รูปที่ 3-15 ภาพ Hot Spot และความเร็วลมตามแนวราบที่ระดับผิวพื้น วันที่ 7 มีนาคม 2551

(ก) ความเร็วลม ณ เวลา 04.00 น. (ข) ความเร็วลม ณ เวลา 16.00 น.

(ค) ภาพ Hot Spot วันที่ 6-7 มีนาคม 2551

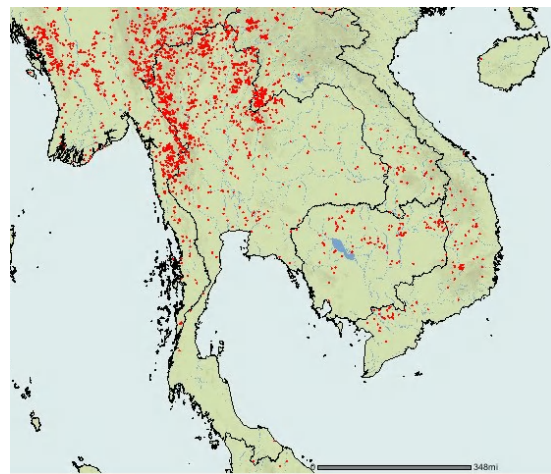
MM5-Focast, Atmospheric Physics, Chiangmai Univ Init: 1800 UTC Thu 20 Mar 08
 Fcast: 54.00 h Valid: 0000 UTC Sun 23 Mar 08 (0700 LST Sun 23 Mar 08)
 at k-index = 23

MM5-Focast, Atmospheric Physics, Chiangmai Univ Init: 1800 UTC Thu 20 Mar 08
 Fcast: 63.00 h Valid: 0900 UTC Sun 23 Mar 08 (1600 LST Sun 23 Mar 08)
 at k-index = 23



(η)

(ψ)



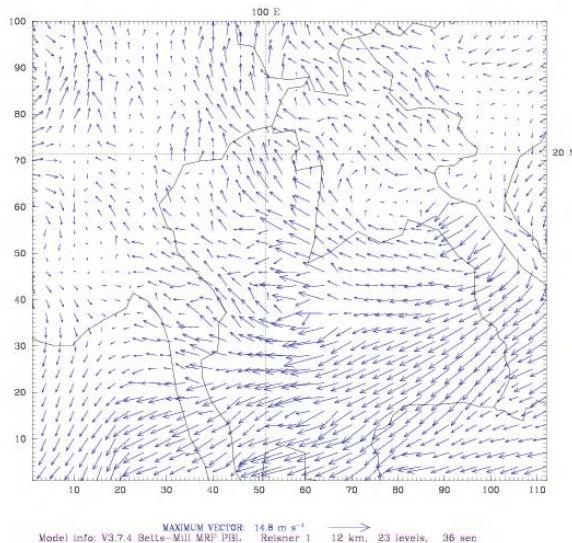
(κ)

รูปที่ 3-16 ภาพ Hot Spot และความเร็วลมตามแนวราบที่ระดับผิวน้ำ วันที่ 23 มีนาคม 2551

(ก) ความเร็วลม ณ เวลา 07.00 น. (ข) ความเร็วลม ณ เวลา 10.00 น.

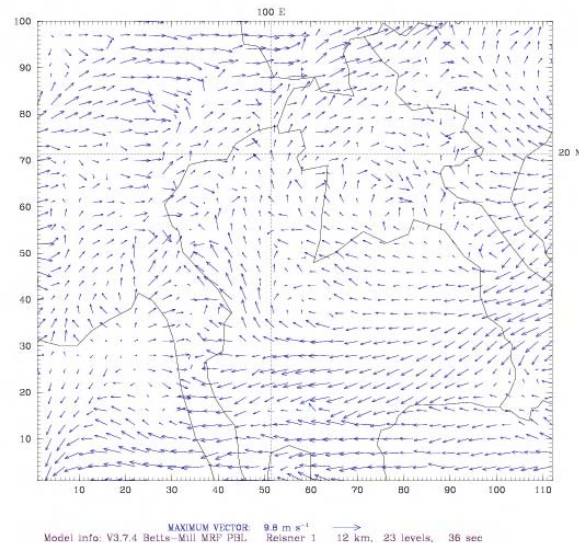
(ค) ภาพ Hot Spot วันที่ 22-23 มีนาคม 2551

MM5—Forecast, Atmospheric Physics, Chiangmai Univ Init: 1800 UTC Thu 20 Mar 08
 Fest: 78.00 h Valid: 0000 UTC Mon 24 Mar 08 (0700 LST Mon 24 Mar 08)
 Horizontal wind vectors at k-index = 23

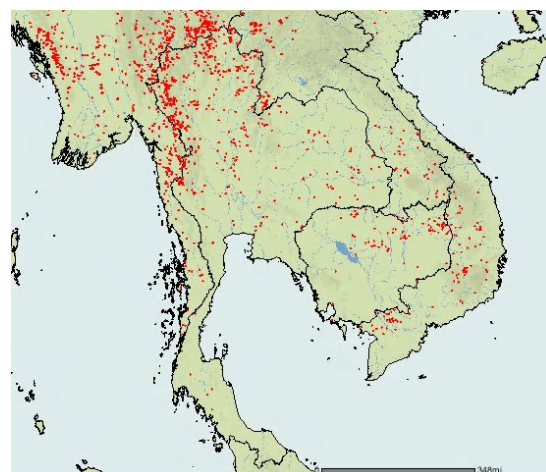


(ก)

MM5—Forecast, Atmospheric Physics, Chiangmai Univ Init: 1800 UTC Thu 20 Mar 08
 Fest: 87.00 h Valid: 0900 UTC Mon 24 Mar 08 (1800 LST Mon 24 Mar 08)
 Horizontal wind vectors at k-index = 23



(ก)



(ค)

รูปที่ 3-17 ภาพ Hot Spot และความเร็วลมตามแนวราบที่ระดับผิวน้ำ วันที่ 24 มีนาคม 2551

(ก) ความเร็วลม ณ เวลา 07.00 น. (ข) ความเร็วลม ณ เวลา 10.00 น.

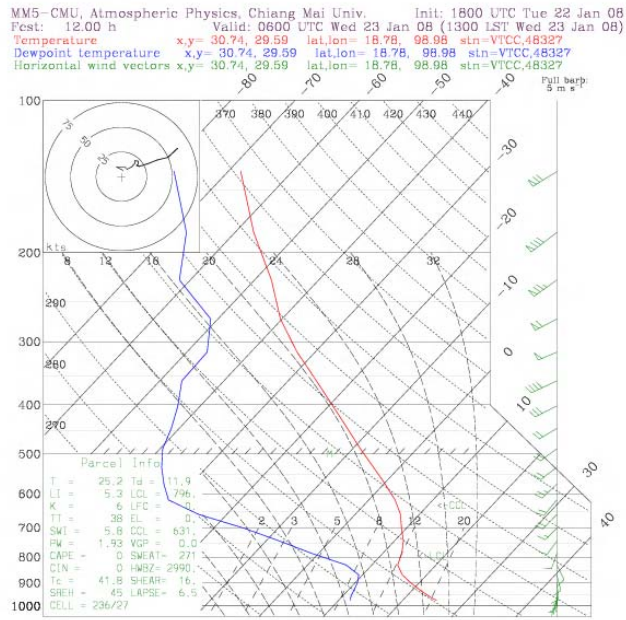
(ค) ภาพ Hot Spot วันที่ 23-24 มีนาคม 2551

3.4 การเคลื่อนที่ของอากาศตามแนวคิ่ง

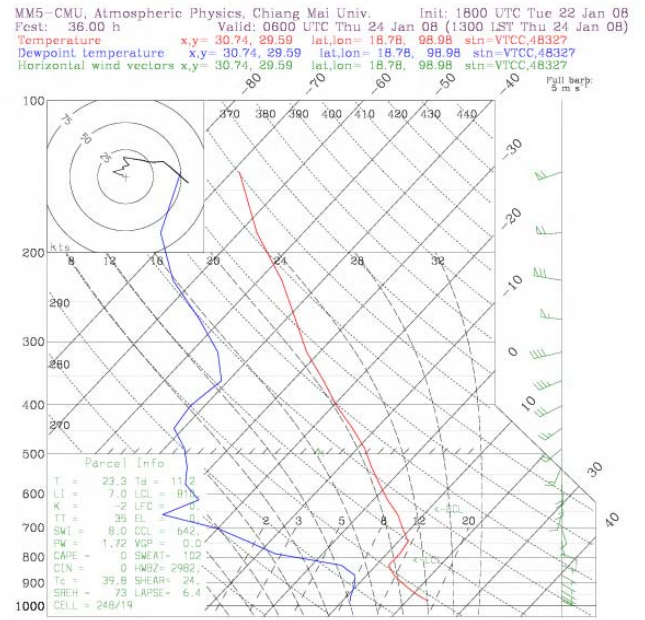
จากการจำลองสภาพอากาศด้วยแบบจำลอง MM5 เมื่อวิเคราะห์ความกดอากาศที่ปักคุณบริเวณแอ่งเชียงใหม่ในช่วงเดือน มกราคม – มีนาคม พ.ศ. 2549 และ พ.ศ. 2550 พบว่า การเคลื่อนที่ขึ้นลงตามแนวคิ่งของอากาศขึ้นอยู่กับเสถียรภาพของอากาศ และลักษณะภูมิประเทศของแอ่งเชียงใหม่-ลำพูน ดังนั้นการพยากรณ์เสถียรภาพอากาศจึงเป็นสิ่งสำคัญเพื่อเฝ้าระวังปัญหาภัยทางอากาศได้

3.4.1 การศึกษาเสถียรภาพอากาศจากแผนภาพ Skew-T

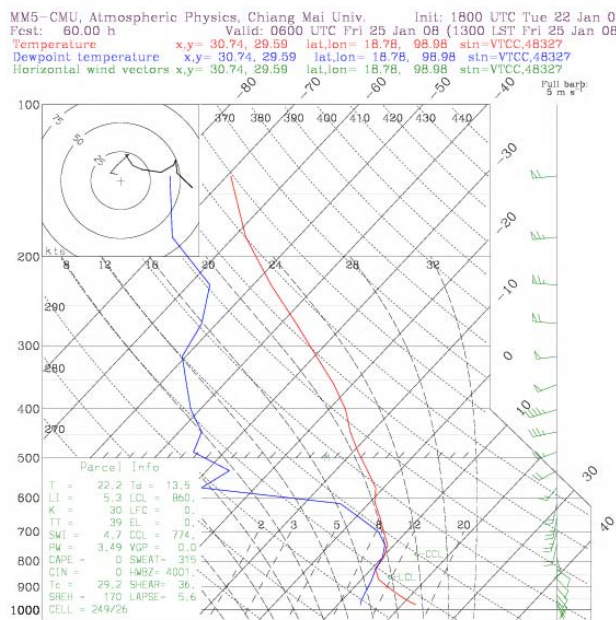
เนื่องจากความกดอากาศสูงที่ปักคุณประเทศไทย ในเดือนมกราคมถึงกลางเดือนมีนาคม เมื่อวิเคราะห์แผนภาพ Skew-T จากผลการจำลองสภาพอากาศด้วยแบบจำลอง MM5 พบว่า อากาศมีเสถียรภาพมาก และบางวันพบชั้นอนุภาคภูมิผกผัน เช่น วันที่ 23-27 มกราคม พบรชั้นอนุภาคภูมิผกผันที่ระยะสูงประมาณ 1.5- 3 กิโลเมตรเหนือพื้นดิน อากาศไม่สามารถเคลื่อนที่ขึ้นผ่านชั้นอนุภาคภูมิผกผันได้ทำให้เกิดการสะสมของฝุ่นละอองในอากาศ และอนุภาคภูมิอากาศมีค่าไอล์เดียงกับอนุภาคภูมิจุดน้ำค้างแสดงว่ามีความชื้นสูง ดังรูปที่ 3-18 ส่วนวันที่ 31 มกราคม และ 1 กุมภาพันธ์ จากแผนภาพ Skew-T เส้นอนุภาคภูมิและเส้นอนุภาคจุดน้ำค้าง ในระดับไอล์พื้นดินต่ำกว่า 500 mb อยู่ชิดกันจนแนบจะเป็นเส้นเดียวกัน แสดงถึง ความชื้นสัมพันธ์ที่สูงมากเกิน 95 % ดังรูปที่ 3-19 ซึ่งเป็นสภาพที่มีศักยภาพสูงมากในการเกิดฝนเมื่อเทียบกับสภาพอากาศจริง ทำให้สภาพอากาศบริเวณแอ่งเชียงใหม่-ลำพูนฟ้าไปด้วยฝนมีรายงานปริมาณฝนตกในจังหวัดเชียงใหม่ จากรอมอุตุนิยมวิทยา วันที่ 31 มกราคม มีค่า 14.5 มิลลิเมตร วันที่ 1 กุมภาพันธ์ มีค่า 9.3 มิลลิเมตร ตามลำดับ



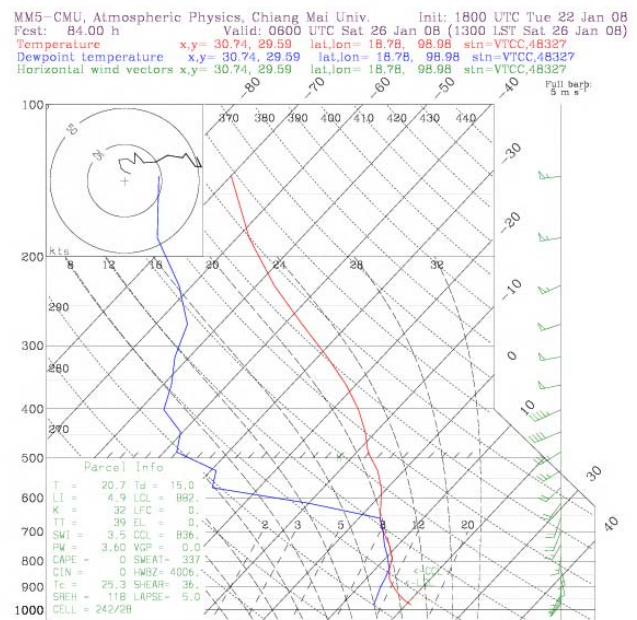
(n)



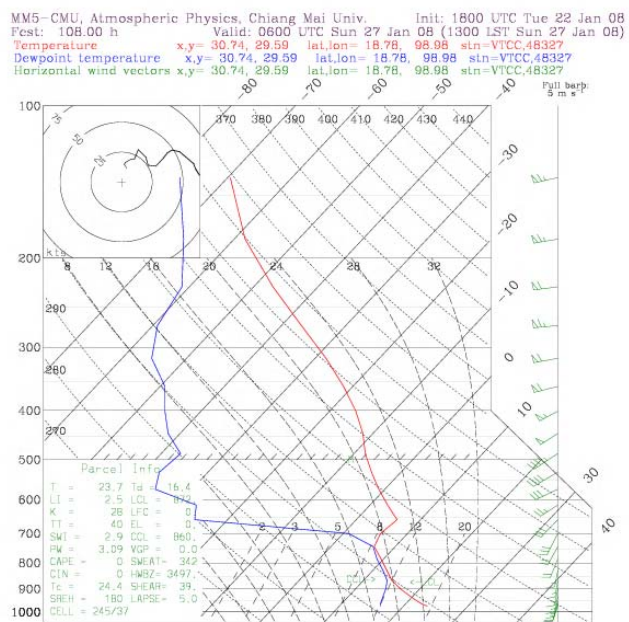
(u)



(q)



(j)



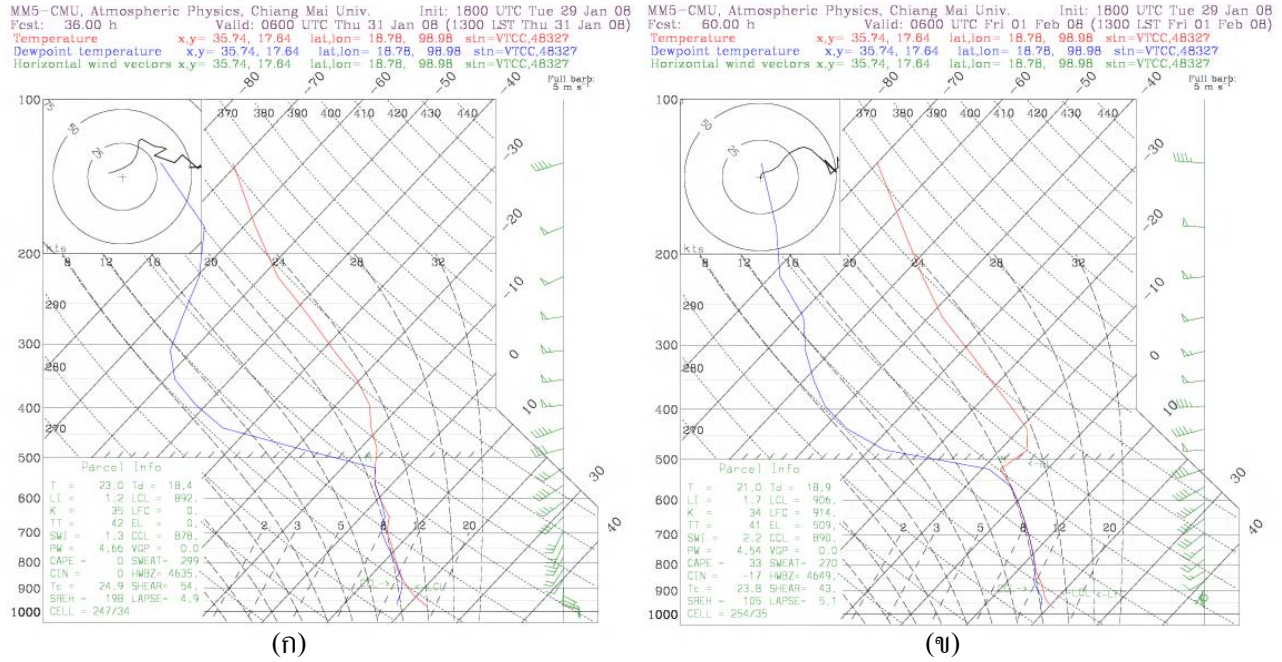
(ก)

รูปที่ 3-18 Skew-T จาก MM5 ณ ศูนย์อุตุนิยมวิทยาจังหวัดเชียงใหม่ เวลา 13.00 น.

(ก) วันที่ 23 มกราคม พ.ศ.2551 (ข) วันที่ 24 มกราคม พ.ศ.2551

(ค) วันที่ 25 มกราคม พ.ศ.2551 (ง) วันที่ 26 มกราคม พ.ศ.2551

(จ) วันที่ 27 มกราคม พ.ศ.2551



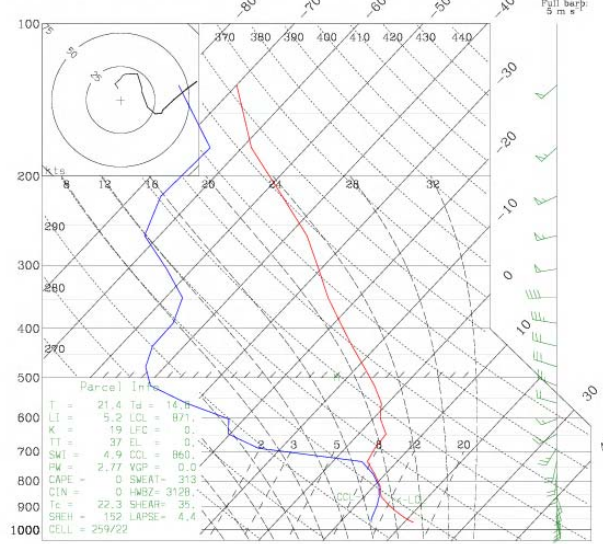
รูปที่ 3-19 Skew-T จาก MM5 ณ ศูนย์อุตุนิยมวิทยาจังหวัดเชียงใหม่ เวลา 13.00 น.

(ก) วันที่ 31 มกราคม พ.ศ.2551

(ข) วันที่ 1 กุมภาพันธ์ พ.ศ.2551

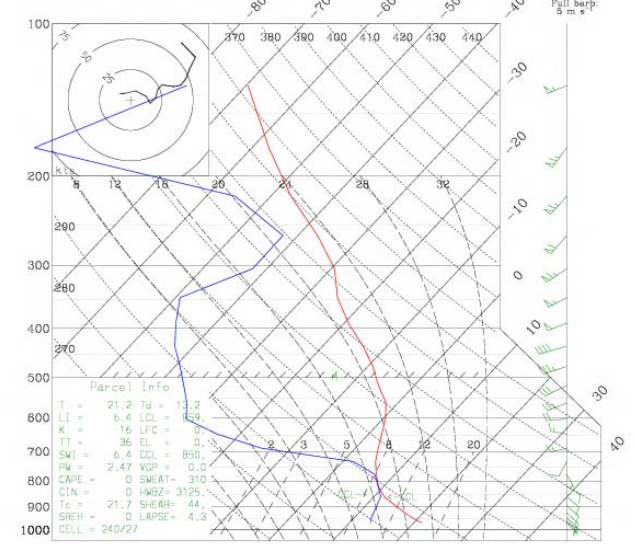
เดือนกุมภาพันธ์ถึงกลางเดือนมีนาคม ช่วงนี้มีความกดอากาศสูงปกคลุมประเทศไทย ทำให้อากาศมีเสถียรภาพมาก พบร่อง อุณหภูมิผกผันอยู่ในระดับสูงประมาณ 2 กิโลเมตรขึ้นไป การฟุ้งกระจายตามแนวคิงของอากาศเป็นไปได้ยาก เมื่อกับมีแผ่นปิดกั้นการฟุ้งกระจายของฝุ่นละออง ประกอบกับลมผิวน้ำเป็นลมอ่อน โอกาสสนับยามากที่ฝุ่นละอองจะถูกพัดพาออกจากแอ่งเชียงใหม่ และอุณหภูมิอากาศมีค่าใกล้เคียงกับอุณหภูมิจุดน้ำค้างที่ความสูงบางช่วง แสดงว่า มีความชื้นสูง เช่น วันที่ 18 – 22 กุมภาพันธ์ พ.ศ.2551 ดังรูปที่ 3-20 และ วันที่ 6 – 9 มีนาคม พ.ศ.2551 ดังรูปที่ 3-21

MM5-CMU, Atmospheric Physics, Chiang Mai Univ. Init: 1800 UTC Sun 17 Feb 08
 Fest: 12.00 h Valid: 0600 UTC Mon 18 Feb 08 (1300 LST Mon 18 Feb 08)
Temperature x,y= 30.74, 29.59 lat,lon= 18.78, 98.98 stn=VTCC,48327
Dewpoint temperature x,y= 30.74, 29.59 lat,lon= 18.78, 98.98 stn=VTCC,48327
Horizontal wind vectors x,y= 30.74, 29.59 lat,lon= 18.78, 98.98 stn=VTCC,48327



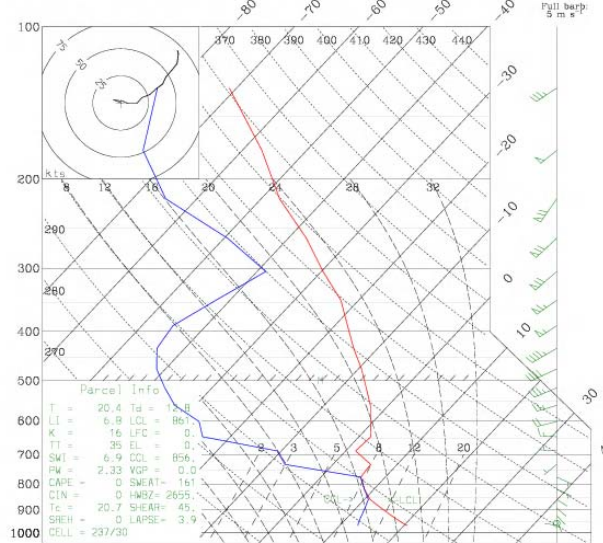
(n)

MM5-CMU, Atmospheric Physics, Chiang Mai Univ. Init: 1800 UTC Sun 17 Feb 08
 Fest: 36.00 h Valid: 0600 UTC Tue 19 Feb 08 (1300 LST Tue 19 Feb 08)
Temperature x,y= 30.74, 29.59 lat,lon= 18.78, 98.98 stn=VTCC,48327
Dewpoint temperature x,y= 30.74, 29.59 lat,lon= 18.78, 98.98 stn=VTCC,48327
Horizontal wind vectors x,y= 30.74, 29.59 lat,lon= 18.78, 98.98 stn=VTCC,48327



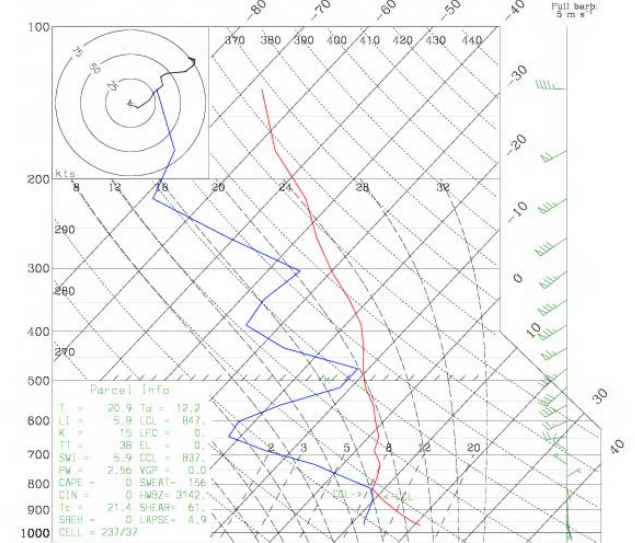
(v)

MM5-CMU, Atmospheric Physics, Chiang Mai Univ. Init: 1800 UTC Sun 17 Feb 08
 Fest: 60.00 h Valid: 0600 UTC Wed 20 Feb 08 (1300 LST Wed 20 Feb 08)
Temperature x,y= 30.74, 29.59 lat,lon= 18.78, 98.98 stn=VTCC,48327
Dewpoint temperature x,y= 30.74, 29.59 lat,lon= 18.78, 98.98 stn=VTCC,48327
Horizontal wind vectors x,y= 30.74, 29.59 lat,lon= 18.78, 98.98 stn=VTCC,48327

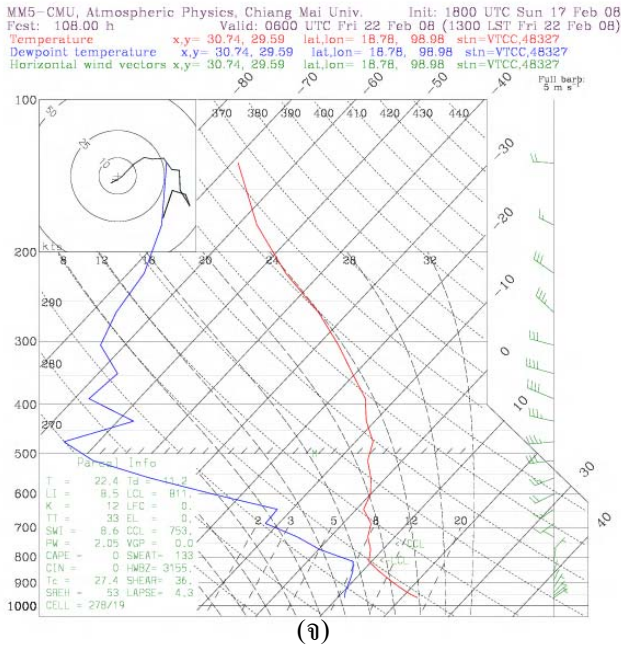


(n)

MM5-CMU, Atmospheric Physics, Chiang Mai Univ. Init: 1800 UTC Sun 17 Feb 08
 Fest: 84.00 h Valid: 0600 UTC Thu 21 Feb 08 (1300 LST Thu 21 Feb 08)
Temperature x,y= 30.74, 29.59 lat,lon= 18.78, 98.98 stn=VTCC,48327
Dewpoint temperature x,y= 30.74, 29.59 lat,lon= 18.78, 98.98 stn=VTCC,48327
Horizontal wind vectors x,y= 30.74, 29.59 lat,lon= 18.78, 98.98 stn=VTCC,48327



(n)



(ก)

รูปที่ 3-20 Skew-T จาก MM5 ณ ศูนย์อุตุนิยมวิทยาจังหวัดเชียงใหม่ เวลา 13.00 น.

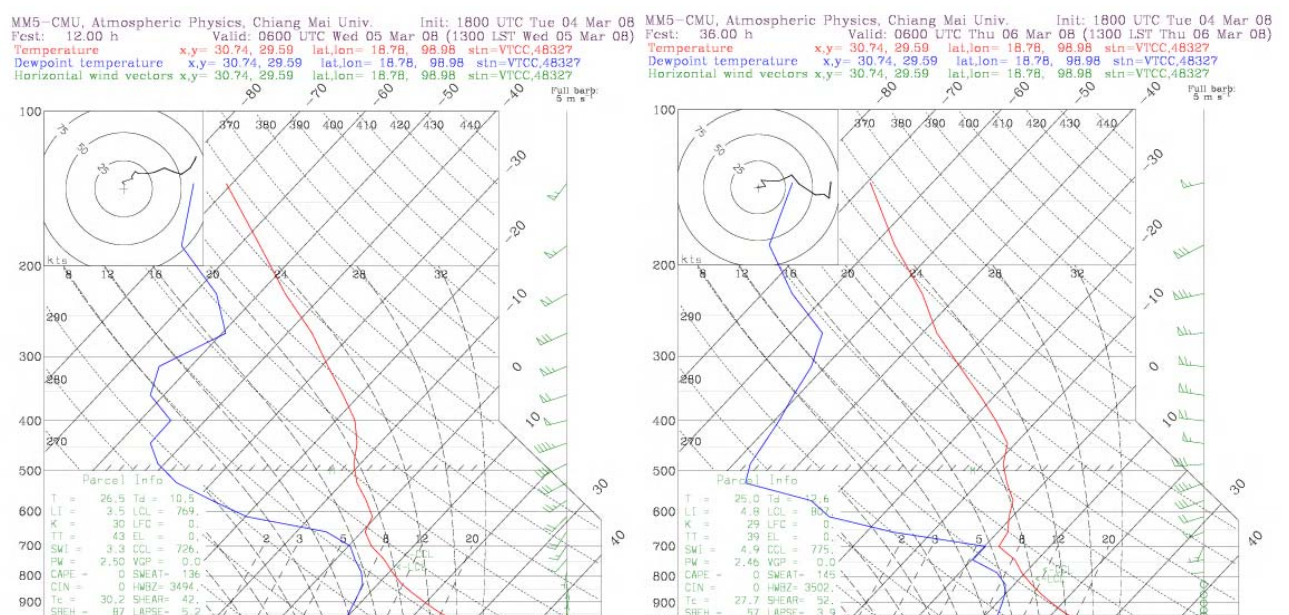
(ก) วันที่ 18 กุมภาพันธ์ พ.ศ.2551

(ข) วันที่ 19 กุมภาพันธ์ พ.ศ.2551

(ค) วันที่ 20 กุมภาพันธ์ พ.ศ.2551

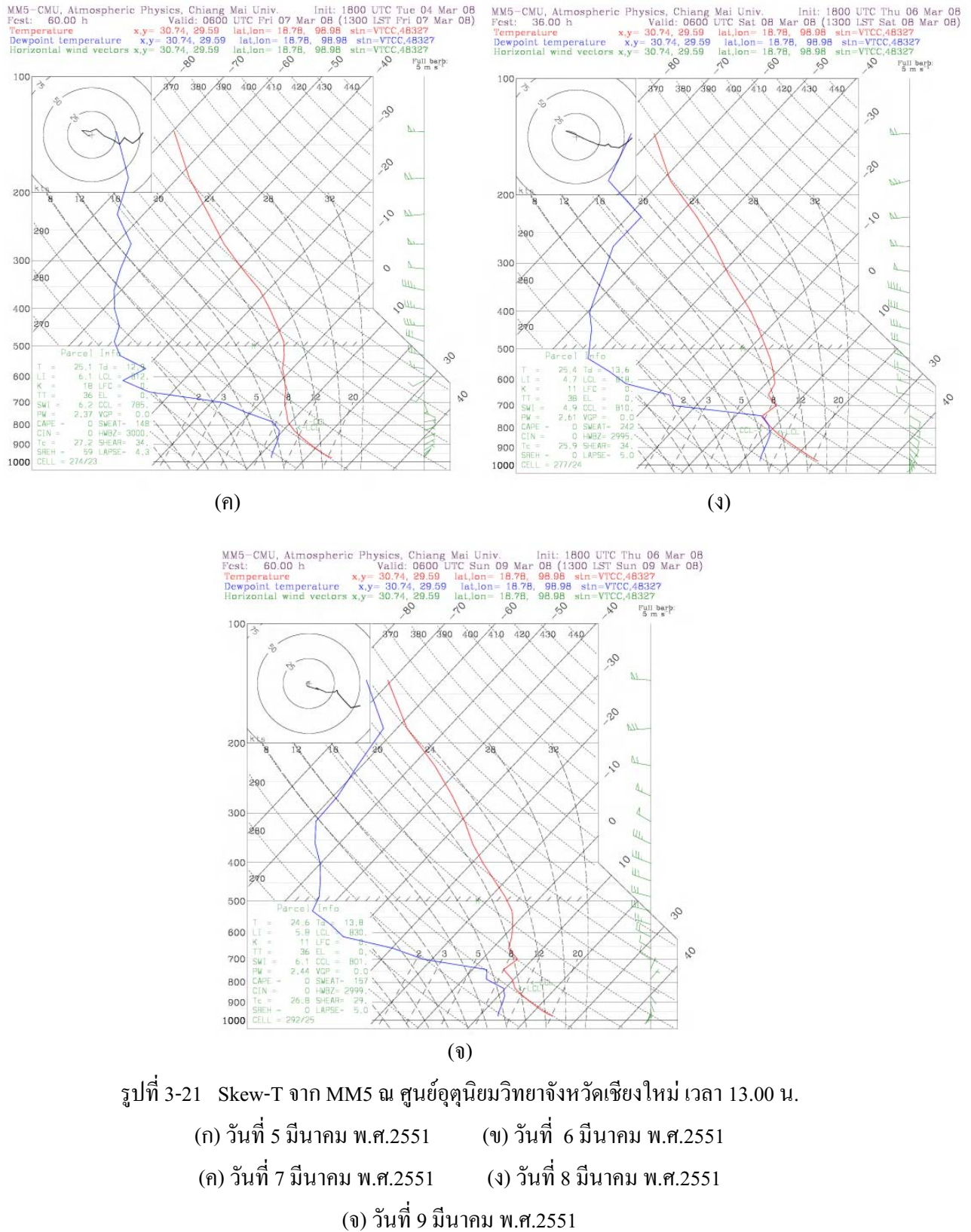
(ง) วันที่ 21 กุมภาพันธ์ พ.ศ.2551

(จ) วันที่ 22 กุมภาพันธ์ พ.ศ.2551



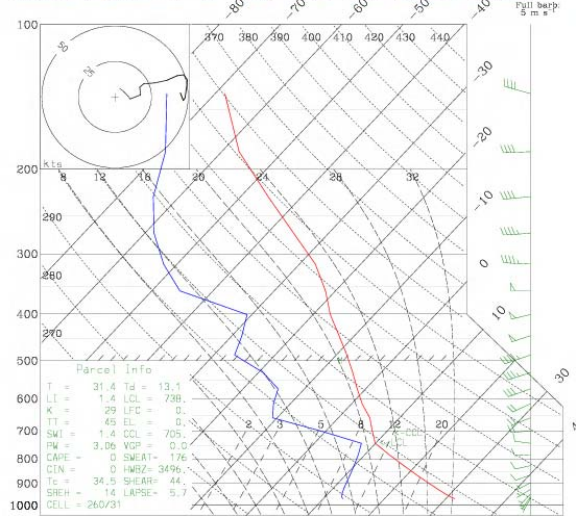
(ก)

(ข)



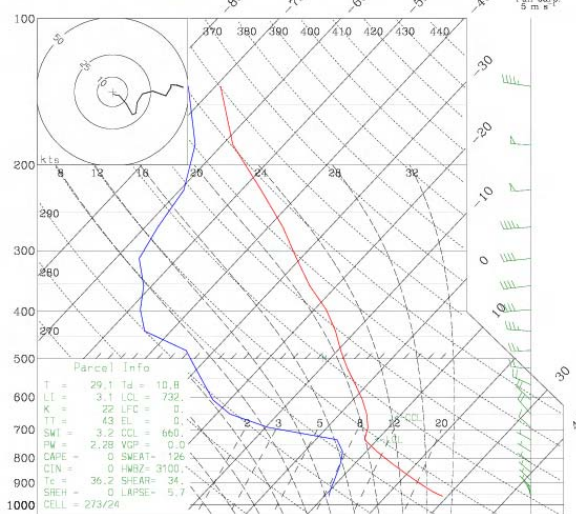
ตั้งแต่กลางเดือนมีนาคมเป็นต้นไป เมื่อพิจารณาแผนภาพ Skew-T ไม่พบชั้นอุณหภูมิผกผัน
อากาศเคลื่อนที่ขึ้นตามแนววิ่งได้ ผุ่นละอองฟุ้งกระจายได้ หมวดปัญหาลักษณะทางอากาศ ดังรูป 3-22

MM5-CMU, Atmospheric Physics, Chiang Mai Univ. Init: 1800 UTC Sun 16 Mar 08
Fest: 12.00 h Valid: 0600 UTC Mon 17 Mar 08 (1300 LST Mon 17 Mar 08)
Temperature x,y= 30.74, 29.59 lat,lon= 18.78, 98.98 stn=VTCR,4B327
Dewpoint temperature x,y= 30.74, 29.59 lat,lon= 18.78, 98.98 stn=VTCR,4B327
Horizontal wind vectors x,y= 30.74, 29.59 lat,lon= 18.78, 98.98 stn=VTCR,4B327



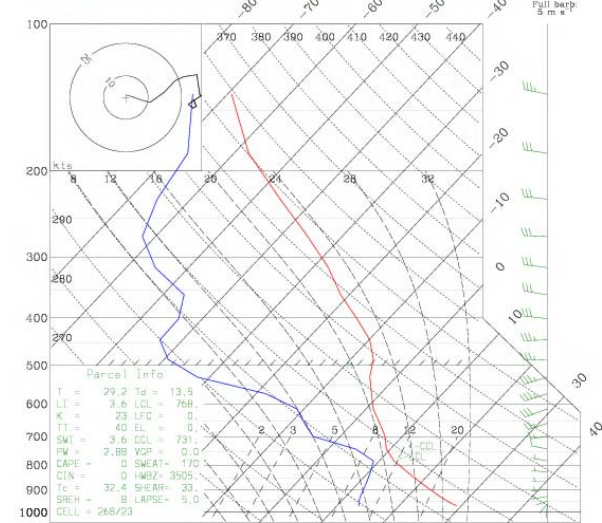
(ก)

MM5-CMU, Atmospheric Physics, Chiang Mai Univ. Init: 1800 UTC Fri 14 Mar 08
Fest: 10.00 h Valid: 0600 UTC Wed 19 Mar 08 (1300 LST Wed 19 Mar 08)
Temperature x,y= 54.37, 62.98 lat,lon= 19.92, 99.83 stn=VTCR,4B303
Dewpoint temperature x,y= 54.37, 62.98 lat,lon= 19.92, 99.83 stn=VTCR,4B303
Horizontal wind vectors x,y= 54.37, 62.98 lat,lon= 19.92, 99.83 stn=VTCR,4B303



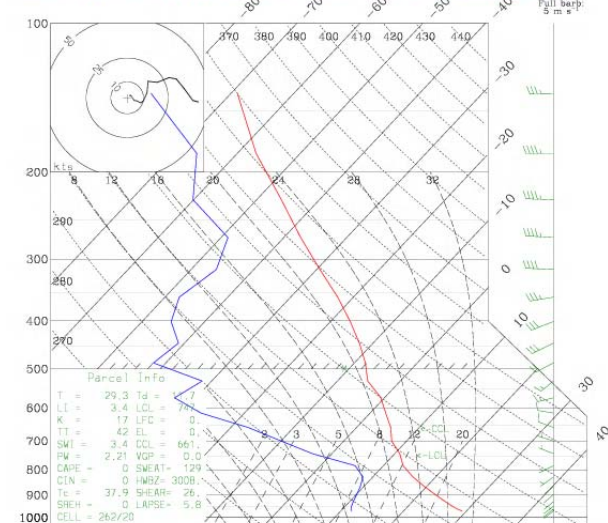
(ก)

MM5-CMU, Atmospheric Physics, Chiang Mai Univ. Init: 1800 UTC Sun 16 Mar 08
Fest: 36.00 h Valid: 0600 UTC Tue 18 Mar 08 (1300 LST Tue 18 Mar 08)
Temperature x,y= 30.74, 29.59 lat,lon= 18.78, 98.98 stn=VTCR,4B327
Dewpoint temperature x,y= 30.74, 29.59 lat,lon= 18.78, 98.98 stn=VTCR,4B327
Horizontal wind vectors x,y= 30.74, 29.59 lat,lon= 18.78, 98.98 stn=VTCR,4B327



(ก)

MM5-CMU, Atmospheric Physics, Chiang Mai Univ. Init: 1800 UTC Sun 16 Mar 08
Fest: 84.00 h Valid: 0600 UTC Thu 20 Mar 08 (1300 LST Thu 20 Mar 08)
Temperature x,y= 30.74, 29.59 lat,lon= 18.78, 98.98 stn=VTCR,4B327
Dewpoint temperature x,y= 30.74, 29.59 lat,lon= 18.78, 98.98 stn=VTCR,4B327
Horizontal wind vectors x,y= 30.74, 29.59 lat,lon= 18.78, 98.98 stn=VTCR,4B327



(ก)

รูปที่ 3-22 Skew-T จาก MM5 ณ ศูนย์อุตุนิยมวิทยาจังหวัดเชียงใหม่ เวลา 13.00 น.

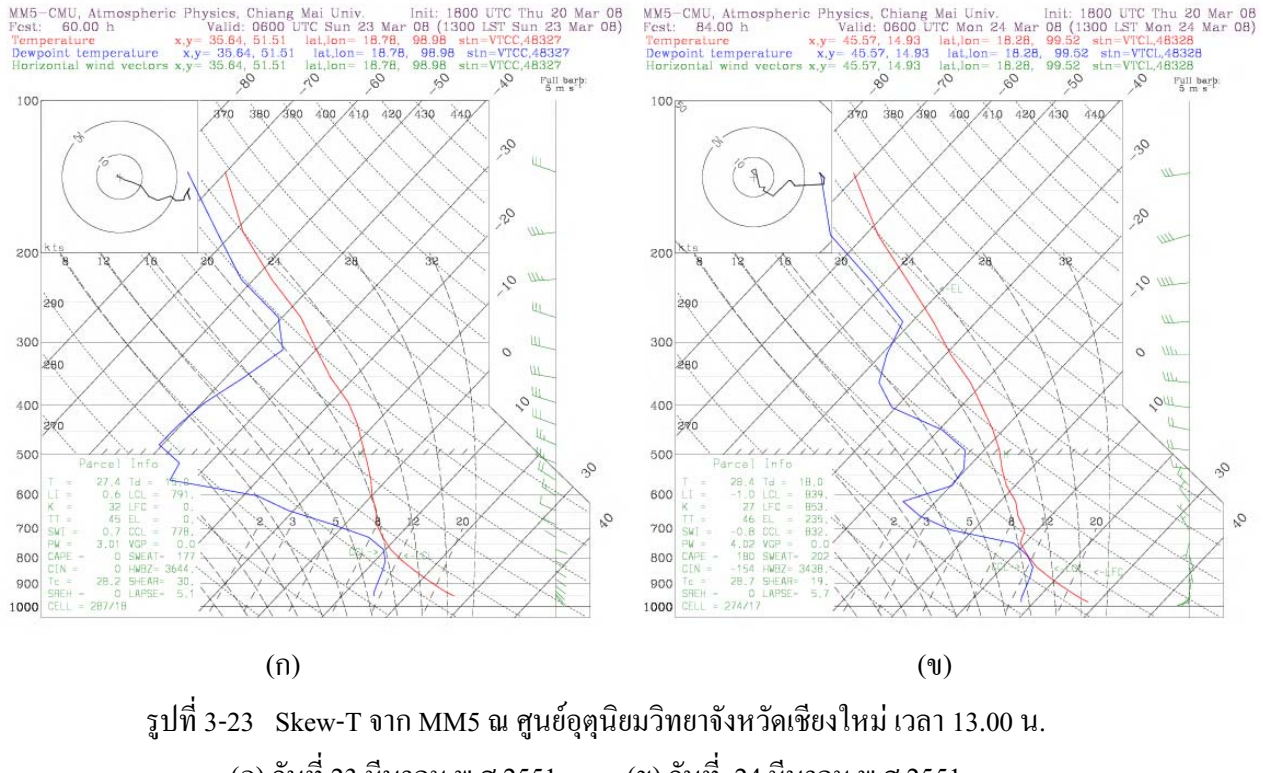
(ก) วันที่ 17 มีนาคม พ.ศ.2551

(ค) วันที่ 19 มีนาคม พ.ศ.2551

(ก) วันที่ 18 มีนาคม พ.ศ.2551

(ก) วันที่ 20 มีนาคม พ.ศ.2551

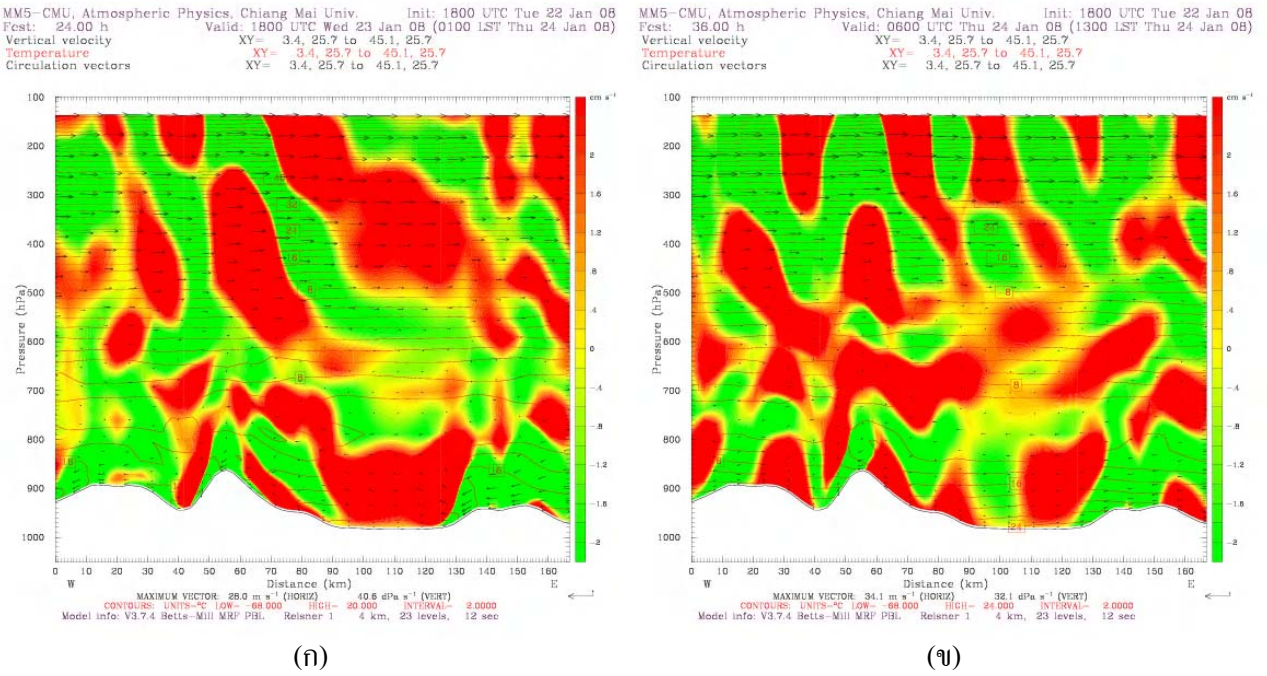
ส่วนวันที่ 23 และ 24 มีนาคม ภาคเหนือตอนบนได้รับอิทธิพลของความกดอากาศสูงอีกครั้งทำให้อากาศมีเสถียรภาพมากขึ้น ดังรูปที่ 3-23 ประกอบกับมีพื้นที่เพาไม้มีเป็นจำนวนมากในภาคเหนือจึงก่อให้เกิดการสะสมของฝุ่นละอองในแอ่งเชียงใหม่-ลำพูน



รูปที่ 3-23 Skew-T จาก MM5 ณ ศูนย์อุตุนิยมวิทยาจังหวัดเชียงใหม่ เวลา 13.00 น.
(ก) วันที่ 23 มีนาคม พ.ศ.2551 (ข) วันที่ 24 มีนาคม พ.ศ.2551

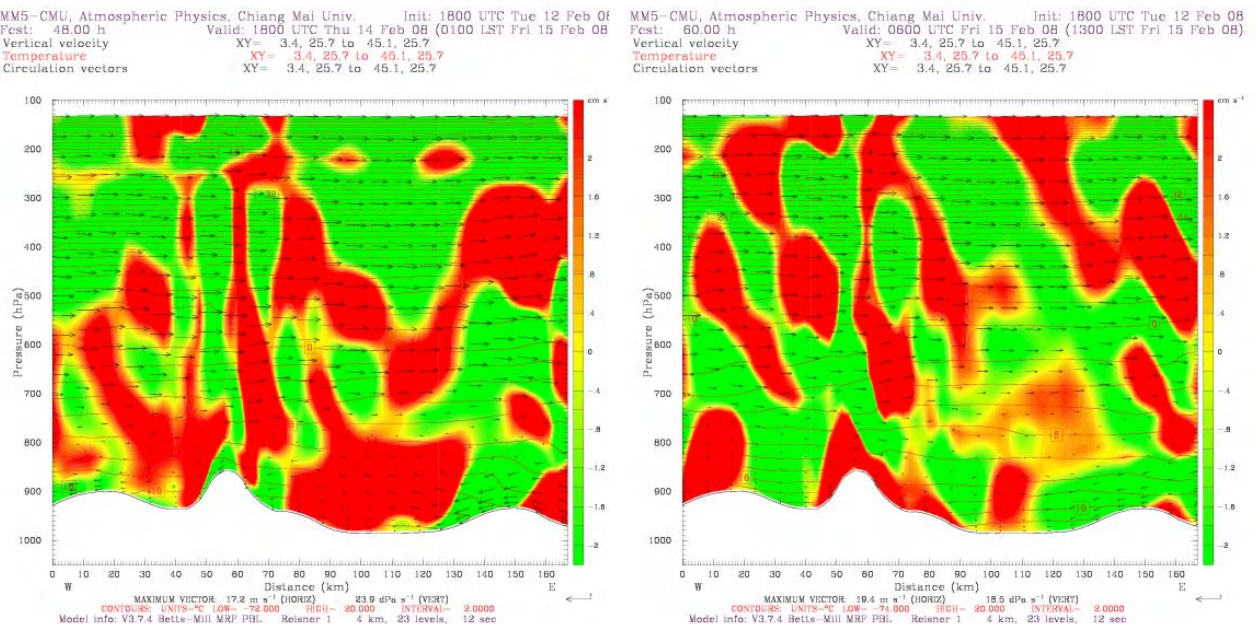
3.4.2 ความเร็วลมตามแนวตะวันตก-ตะวันออกและตามแนวดิ่ง

นอกจากเสถียรภาพของอากาศที่มีผลต่อเคลื่อนที่ของฝุ่นละอองแล้ว ลักษณะภูมิประเทศที่เป็นแอ่งกระทะของเชียงใหม่-ลำพูน ก็เป็นปัจจัยที่สำคัญหนึ่งที่ส่งผลต่อการฝุ่นละอองของฝุ่นละออง เช่น กันเนื่องจากลมบริเวณข้างเคียงที่พัดผ่านบริเวณด้านบนของแอ่งกระทะ ขณะเดียวกัน ลมภูเขาช่วงเวลากลางคืนที่เคลื่อนที่ลงตามแนวเขา ส่วนเวลากลางวันลมจะเคลื่อนที่ขึ้นบริเวณไหหลีเขา แล้วเคลื่อนที่ลงบริเวณทุบเขา ช่วยเสริมให้ฝุ่นละอองสะสมในแอ่งเชียงใหม่ ดังรูปที่ 3-24 ถึง 3-27



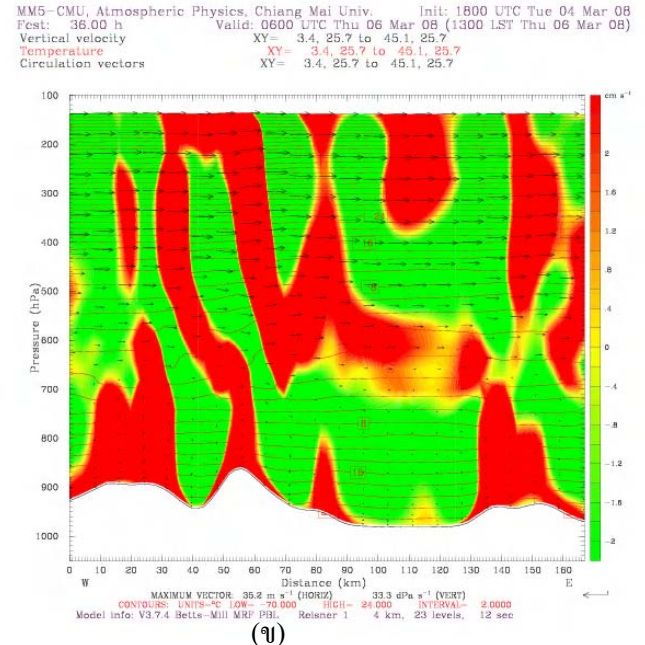
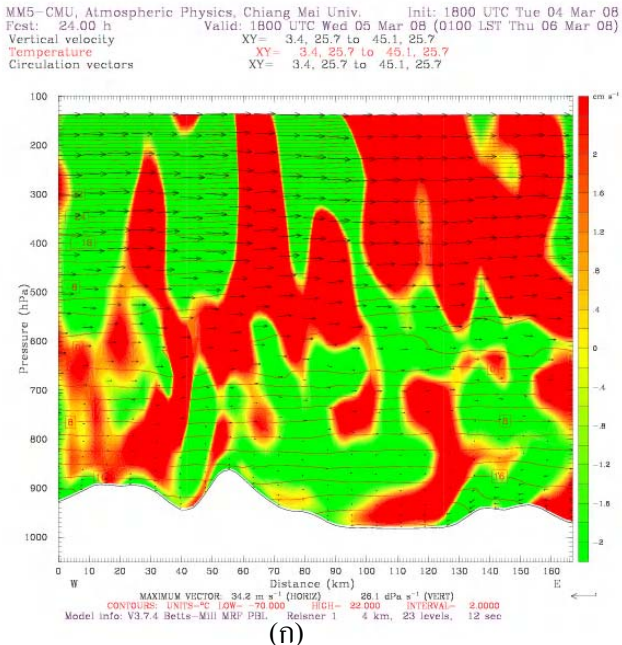
รูปที่ 3-24 ความเร็วลมตามแนวตะวันตก-ตะวันออกและตามแนวดิ่ง วันที่ 24 มกราคม 2551

(ก) ความเร็วลม ณ เวลา 01.00 น. (ข) ความเร็วลม ณ เวลา 13.00 น.



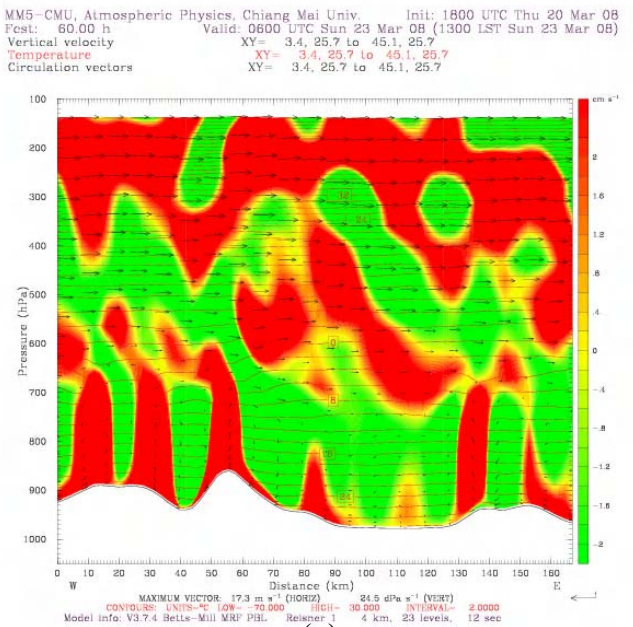
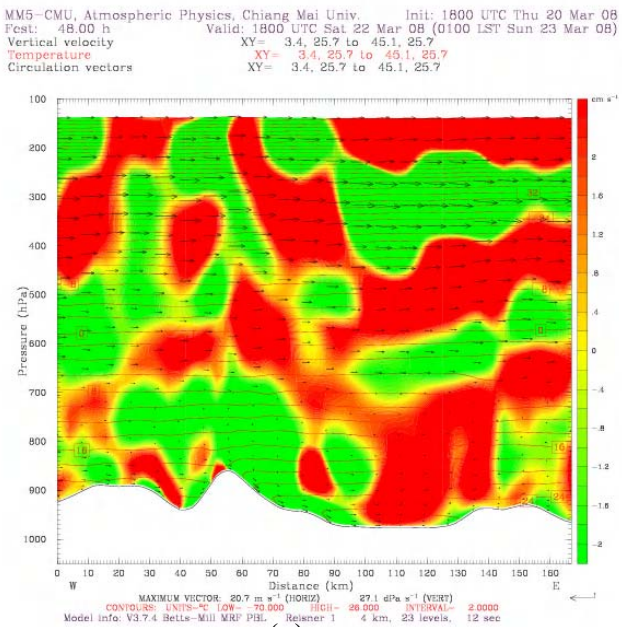
รูปที่ 3-25 ความเร็วลมตามแนวตะวันตก-ตะวันออกและตามแนวดิ่ง วันที่ 15 กุมภาพันธ์ 2551

(ก) ความเร็วลม ณ เวลา 01.00 น. (ข) ความเร็วลม ณ เวลา 13.00 น.



รูปที่ 3-26 ความเร็วลมตามแนวตั้ง-ตะวันออกและตามแนวตั้ง วันที่ 6 มีนาคม 2551

(ก) ความเร็วลม ณ เวลา 01.00 น. (ข) ความเร็วลม ณ เวลา 13.00 น.



รูปที่ 3-27 ความเร็วลมตามแนวตั้ง-ตะวันออกและตามแนวตั้ง วันที่ 23 มีนาคม 2551

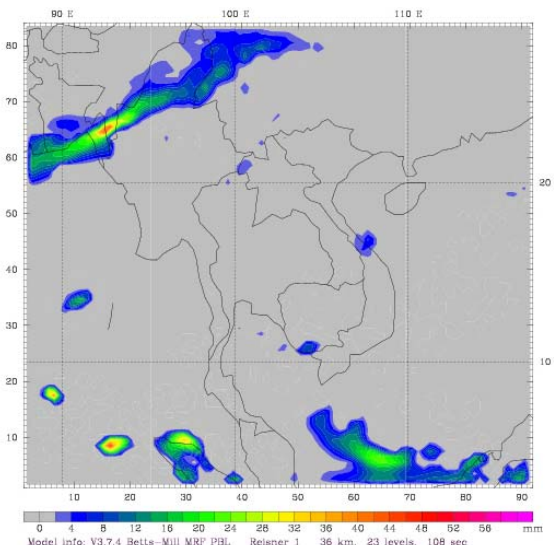
(ก) ความเร็วลม ณ เวลา 01.00 น. (ข) ความเร็วลม ณ เวลา 13.00 น.

3.5 บริมาณฝนสะสม 3 ชั่วโมงและภาพถ่ายดาวเทียม

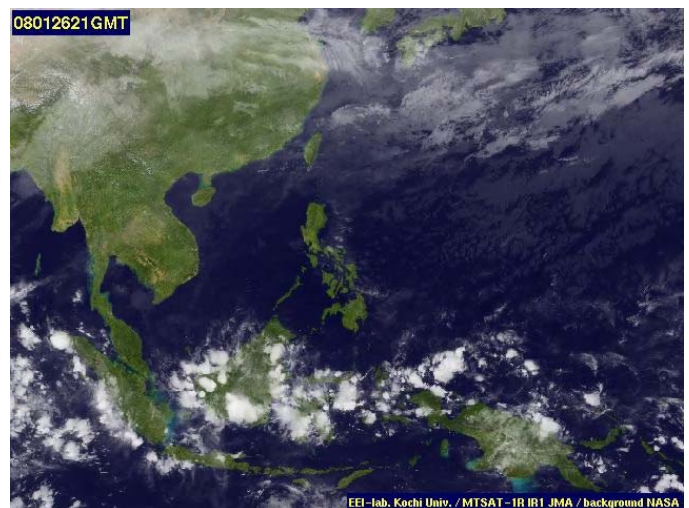
(ที่มา <http://weather.is.kochi-u.ac.jp/sat/gms.sea>)

สำหรับปี 2551 มีฝนตกในเชียงใหม่และจังหวัดข้างเคียงบ่อยครั้ง เมื่อเปรียบเทียบภาพบริมาณฝนสะสม 3 ชั่วโมง จากการพยากรณ์ด้วยแบบจำลอง MM5 กับภาพถ่ายดาวเทียม พบว่า มีความสัมพันธ์กัน โดยพื้นที่ที่มีฝนตกจะมีกลุ่มเมฆปกคลุมอย่างหนาแน่น เช่นวันที่ 27 มกราคม พ.ศ.2551 ดังรูปที่ 3-28 และวันที่ 24 มีนาคม พ.ศ.2551 ดังรูปที่ 3-29

MM5-CMU, Atmospheric Physics, Chiang Mai Univ. Init: 1800 UTC Tue 22 Jan 08
Final: 0900 h Valid: 2100 UTC Sat 26 Jan 08 (0400 LST Sun 27 Jan 08)
Total precip. in past 3 h

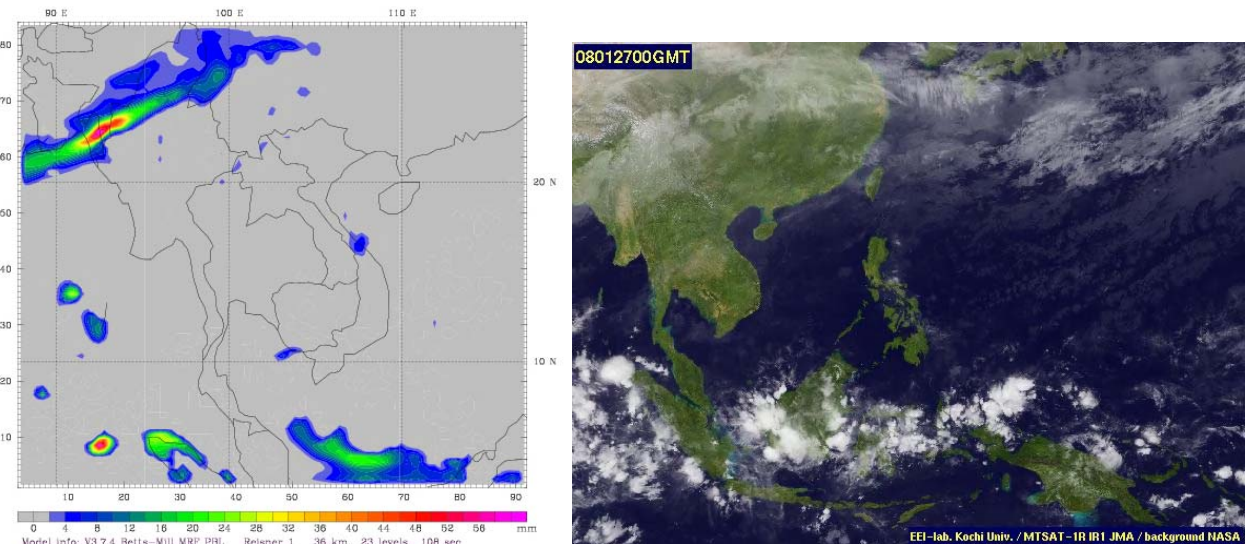


(η)



(ψ)

MM5-CMU, Atmospheric Physics, Chiang Mai Univ. Init: 1800 UTC Tue 22 Jan 08
 Fest: 102.00 h Valid: 0000 UTC Sun 27 Jan 08 (0700 LST Sun 27 Jan 08)
 Total precip. in past 3 h



(ก)

รูปที่ 3-28 แสดงปริมาณฝนสะสม 3 ชั่วโมง และภาพถ่ายดาวเทียม วันที่ 27 มกราคม พ.ศ.2551

(ก) ปริมาณฝนสะสม ณ เวลา 04.00 น

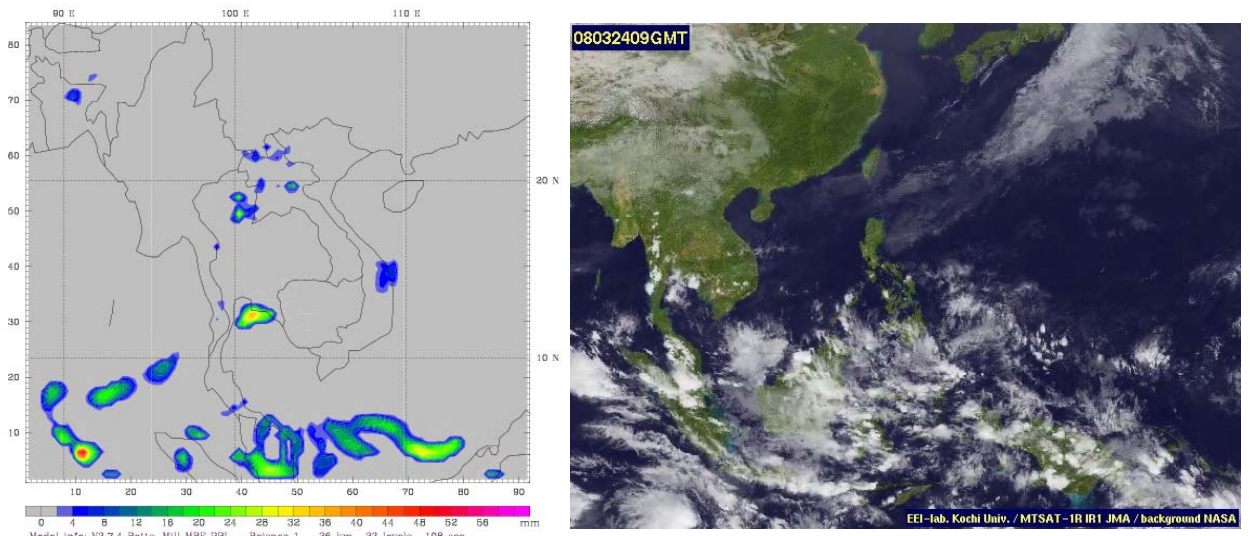
(ค) ปริมาณฝนสะสม ณ เวลา 07.00 น.

(จ)

(ข) ภาพถ่ายดาวเทียม ณ เวลา 04.00 น.

(ง) ภาพถ่ายดาวเทียม ณ เวลา 07.00 น.

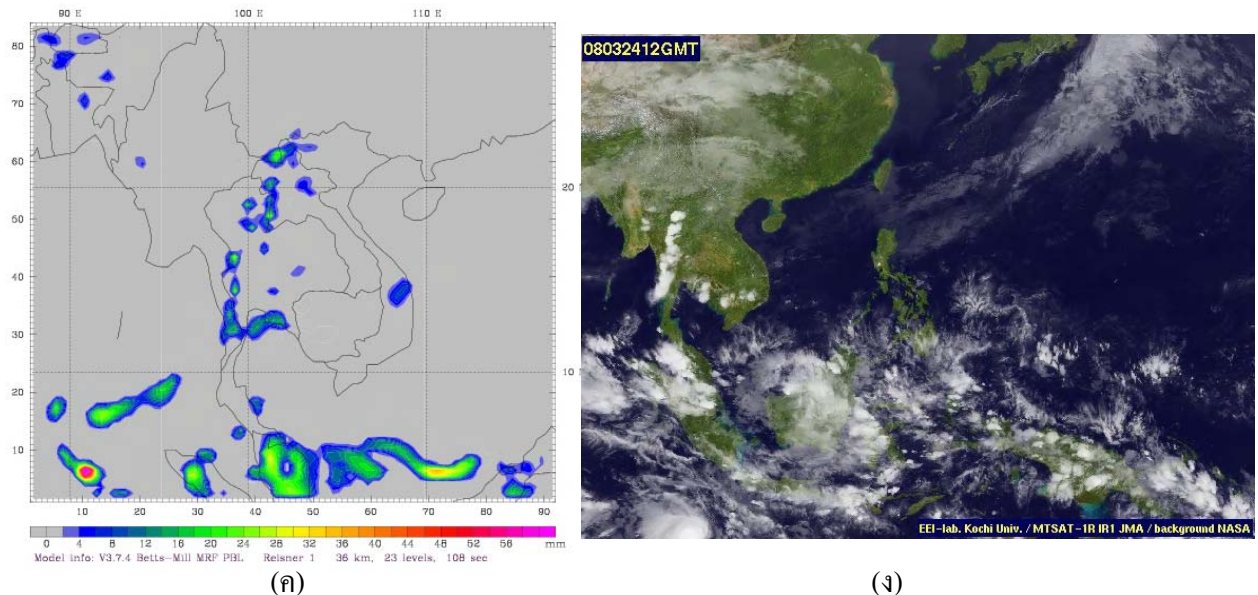
MM5-CMU, Atmospheric Physics, Chiang Mai Univ. Init: 1800 UTC Sun 23 Mar 08
 Fest: 15.00 h Valid: 0900 UTC Mon 24 Mar 08 (1600 LST Mon 24 Mar 08)
 Total precip. in past 3 h



(ก)

(จ)

MM5 - CMU, Atmospheric Physics, Chiang Mai Univ. Init: 1800 UTC Sun 23 Mar 08
 Post: 18:00 h Valid: 1200 UTC Mon 24 Mar 08 (1900 LST Mon 24 Mar 08)
 Total precip. in past 3 h



รูปที่ 3-29 แสดงปริมาณฝนสะสม 3 ชั่วโมง และภาพถ่ายดาวเทียม วันที่ 24 มีนาคม 2551

- (ก) ปริมาณฝนสะสม ณ เวลา 16.00 น (ข) ภาพถ่ายดาวเทียม ณ เวลา 16.00 น.
 (ค) ปริมาณฝนสะสม ณ เวลา 19.00 น. (จ) ภาพถ่ายดาวเทียม ณ เวลา 19.00 น.

3.6 ตัวอย่างการพยากรณ์สภาพอากาศ

3.6.1 การพยากรณ์สภาพอากาศจากแบบจำลอง MM5 ระหว่างวันที่ 31 มกราคม -2 กุมภาพันธ์ 2551

เนื่องจากมวลอากาศเย็นจากประเทศไทยอ่อนกำลังลง และความกดอากาศต่ำเคลื่อนตัวมาจากทางตะวันตกเฉียงใต้ ประกอบกับอากาศมีความชื้นสูงมาก

วันที่ 31 มกราคม 2551 อุณหภูมิประมาณ 16 - 30 องศาเซลเซียส (มีฝนเล็กน้อยถึงปานกลาง)

วันที่ 1 กุมภาพันธ์ 2551 อุณหภูมิประมาณ 16-25 องศาเซลเซียส (มีฝนเล็กน้อยถึงปานกลาง)

วันที่ 2 กุมภาพันธ์ 2551 อุณหภูมิประมาณ 16-30 องศาเซลเซียส

ช่วงวันที่ 31 มกราคม – 1 กุมภาพันธ์ 2551 ลมผิวน้ำลงสูบ ช่วงบ่ายอากาศเคลื่อนที่ขึ้นตามแนวดิ่งได้ดี และมีฝนชั้นฝุ่นละอองในบรรยากาศค่ำงส่วน ทำให้คุณภาพอากาศดี

วันที่ 2 กุมภาพันธ์ 2551 ที่ความสูงประมาณ 1.5 กิโลเมตรเหนือพื้นดินอากาศเป็นแบบไม่มีเสถียรภาพ ฝุ่นละอองในอากาศฟุ้งกระจายได้ดีจนถึงความสูงประมาณ 3.5 – 5 กิโลเมตรอุณหภูมิเพิ่มขึ้นตามความสูง ทำให้ฝุ่นละอองในอากาศไม่สามารถเคลื่อนที่ขึ้นได้อีก

3.6.2 การพยากรณ์สภาพอากาศจากแบบจำลอง MM5 ระหว่างวันที่ 6 - 8 มีนาคม 2551

ช่วงนี้ มีความกดอากาศสูงจากประเทศไทยแผ่ลงมาปกคลุมภาคเหนือตอนบนทำให้ช่วงเช้าอากาศเย็น

วันที่ 6 มีนาคม 2551 อุณหภูมิตอนเช้าประมาณ 19-21 องศาเซลเซียส ตอนบ่ายประมาณ 31-33 องศาเซลเซียส

วันที่ 7 มีนาคม 2551 อุณหภูมิตอนเช้าประมาณ 19-21 องศาเซลเซียส ตอนบ่ายประมาณ 30-32 องศาเซลเซียส

วันที่ 8 มีนาคม 2551 อุณหภูมิตอนเช้าประมาณ 19-21 องศาเซลเซียส ตอนบ่ายประมาณ 28-32 องศาเซลเซียส

เสถียรภาพอากาศในวันที่ 6-8 มีนาคม 2551 อากาศมีเสถียรภาพเหนือพื้นดิน จากนั้นเกิดอุณหภูมิเพิ่มขึ้นตามความสูง (inversion) ที่ความสูงประมาณ 2-3 กิโลเมตรเหนือพื้นดิน เสมือนมีแผ่นปิดกั้นไม่ให้อากาศเคลื่อนที่ผ่าน ทำให้ฝุ่นละอองในอากาศลอยขึ้นตามแนวดิ่งได้เล็กน้อยจนถึงความสูง 2- 3 กิโลเมตรเหนือพื้นดิน สภาพอากาศในช่วงนี้ยังคงอื้ออำนวยต่อการสะสมของฝุ่นละอองใกล้พื้นดิน จึงควรลดการปลดปล่อยฝุ่นละอองสู่บรรยากาศ

3.6.3 การพยากรณ์สภาพอากาศจากแบบจำลอง MM5 ระหว่างวันที่ 25-27 มีนาคม 2551

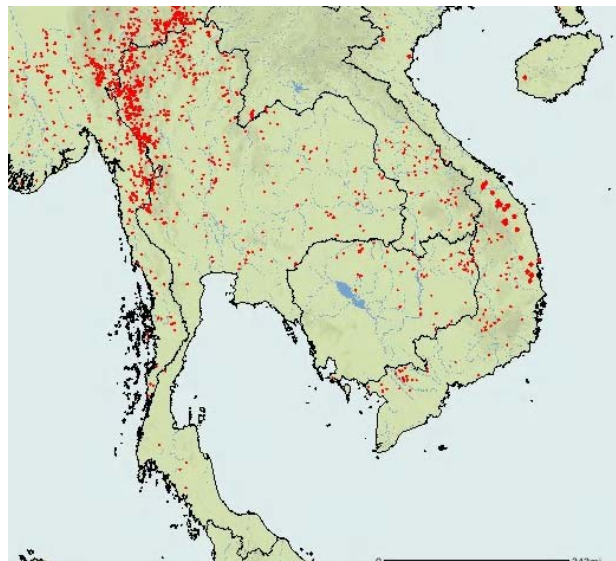
วันที่ 25 มีนาคม 2551 อุณหภูมิตอนเช้าประมาณ 24-26 องศาเซลเซียส ตอนบ่ายประมาณ 34-38 องศาเซลเซียส

วันที่ 26 มีนาคม 2551 อุณหภูมิตอนเช้าประมาณ 24-26 องศาเซลเซียส ตอนบ่ายประมาณ 33-39 องศาเซลเซียส

วันที่ 27 มีนาคม 2551 อุณหภูมิตอนเช้าประมาณ 24-26 องศาเซลเซียส ตอนบ่ายประมาณ 34-39 องศาเซลเซียส

สภาพอากาศในวันที่ 25-27 มีนาคม 2551 เนื่องจากอุณหภูมิช่วงบ่ายค่อนข้างสูง ทำให้อากาศที่พื้นผิวเคลื่อนที่ขึ้น ได้เล็กน้อยและเคลื่อนที่ขึ้น ได้ดีในชั้นตัดไป ประกอบกับวันที่ 26-27 มีนาคม 2551 ช่วงเย็นมีลมกระโชกแรงพัดมาจากทิศใต้และตะวันตก ส่งผลให้ฝุ่นละอองในอากาศสามารถฟุ้งกระจายได้ดี แต่ลมพื้นดังกล่าวอาจพัดพาหมอกควันที่เกิดจากไฟป่าหรือการเผาทุกรูปแบบจากพื้นที่ข้างเคียงสู่เชียงใหม่ได้เช่นกัน

เนื่องจากเชียงใหม่มีอุณหภูมิที่พื้นสูง ทำให้ฝุ่นละอองในอากาศฟุ้งกระจายตามแนวตั้ง ได้มากขึ้น แต่อุณหภูมิที่เพิ่มสูงขึ้นก่อให้เกิดไฟป่าในภาคตะวันตกและภาคเหนือตอนบน ดังรูปที่ 3-30 ส่งผลให้ฝุ่นละอองในอากาศเพิ่มขึ้นเช่นกัน



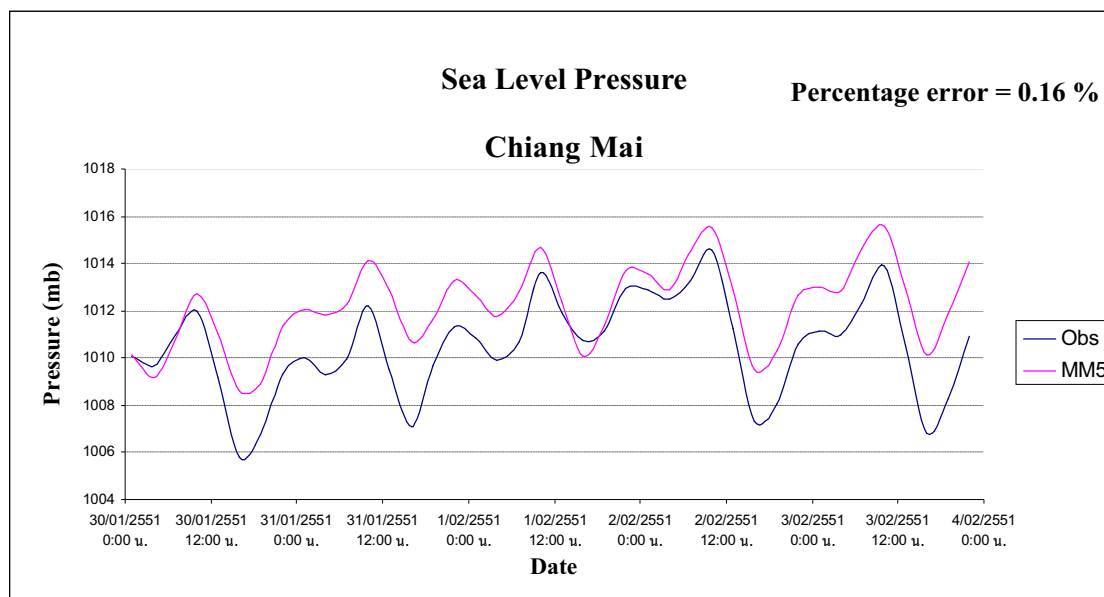
รูปที่ 3-30 แสดง Hot Spot จากภาพดาวเทียม วันที่ 24-25 มีนาคม 2551

(ที่มา: <http://maps.geog.umd.edu>)

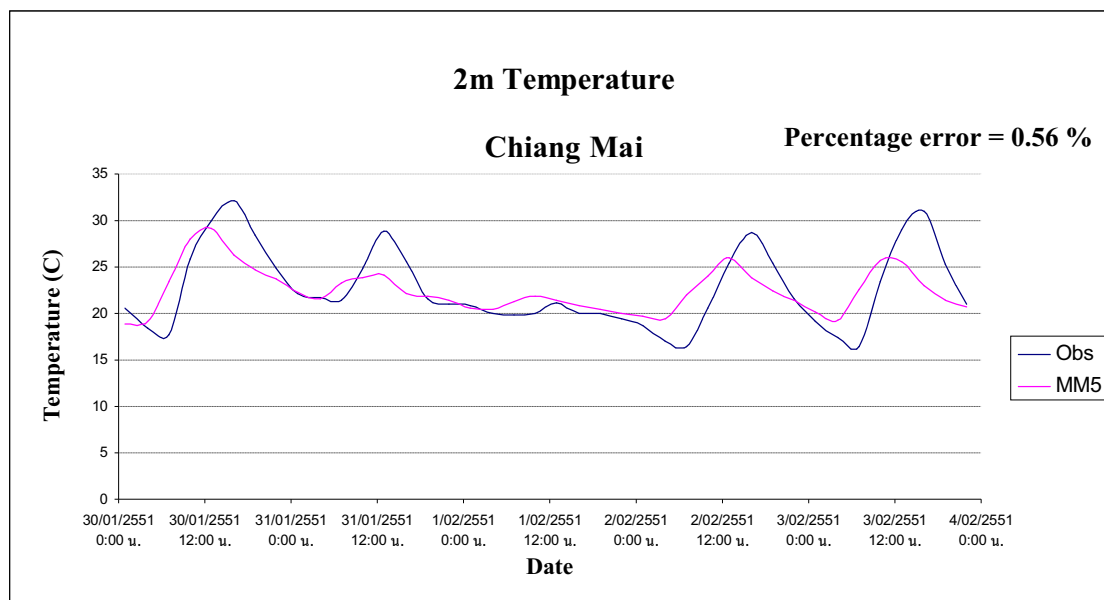
3.7 การเปรียบเทียบผลการพยากรณ์สภาพอากาศล่วงหน้า 5 วันด้วยแบบจำลอง MM5 กับค่าตรวจสอบ

จากกรมอุตุนิยมวิทยา

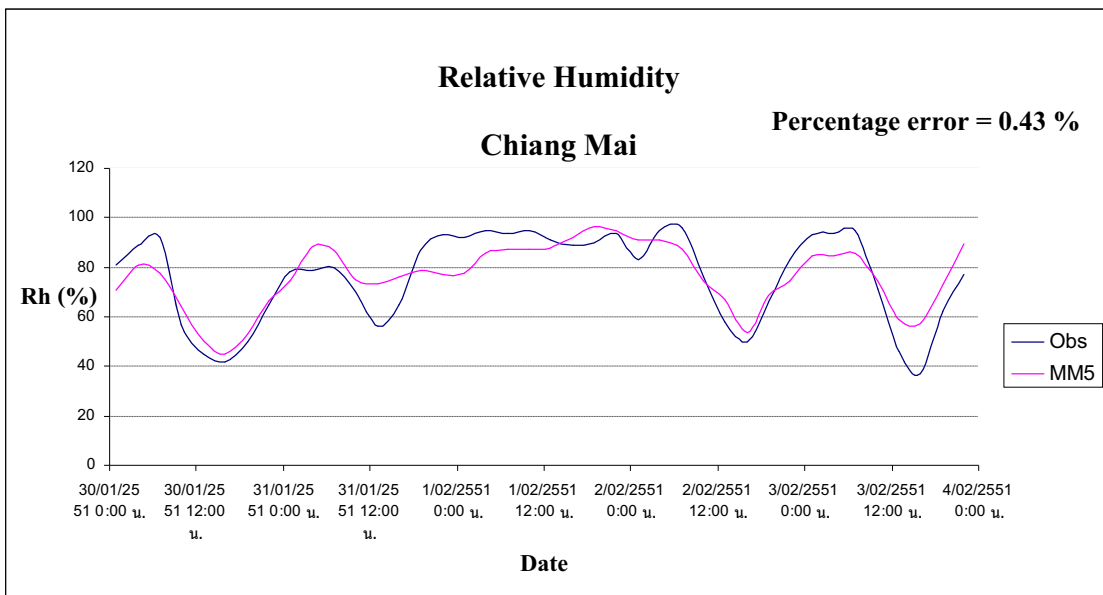
วันที่ 30 มกราคม – 4 กุมภาพันธ์ พ.ศ.2551



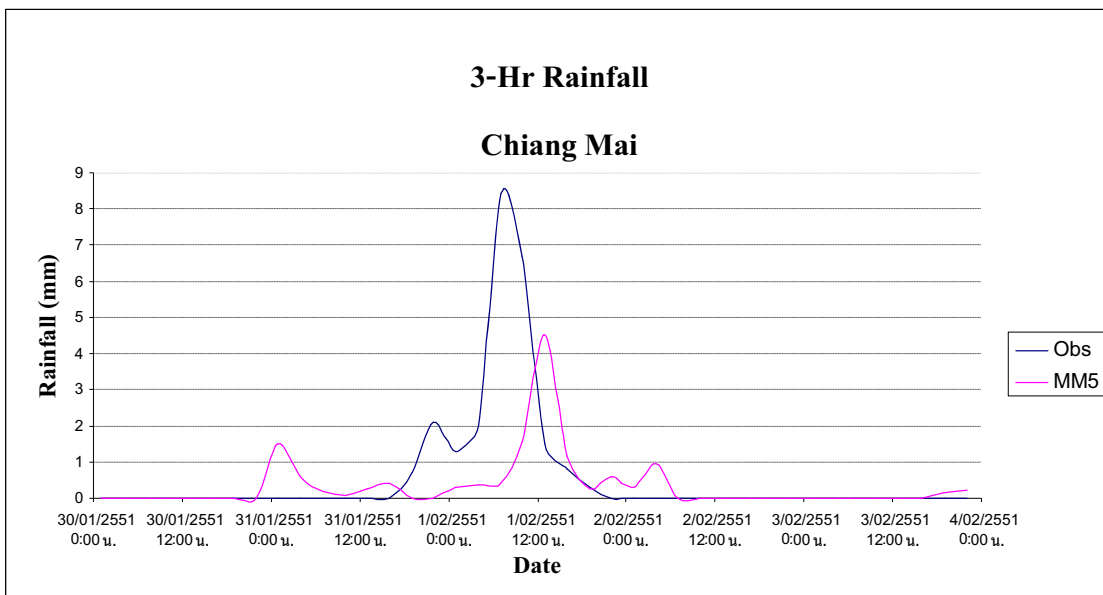
รูปที่ 3-31 แสดงการเปลี่ยนแปลงความดัน ณ ศูนย์อุตุนิยมวิทยา จังหวัดเชียงใหม่



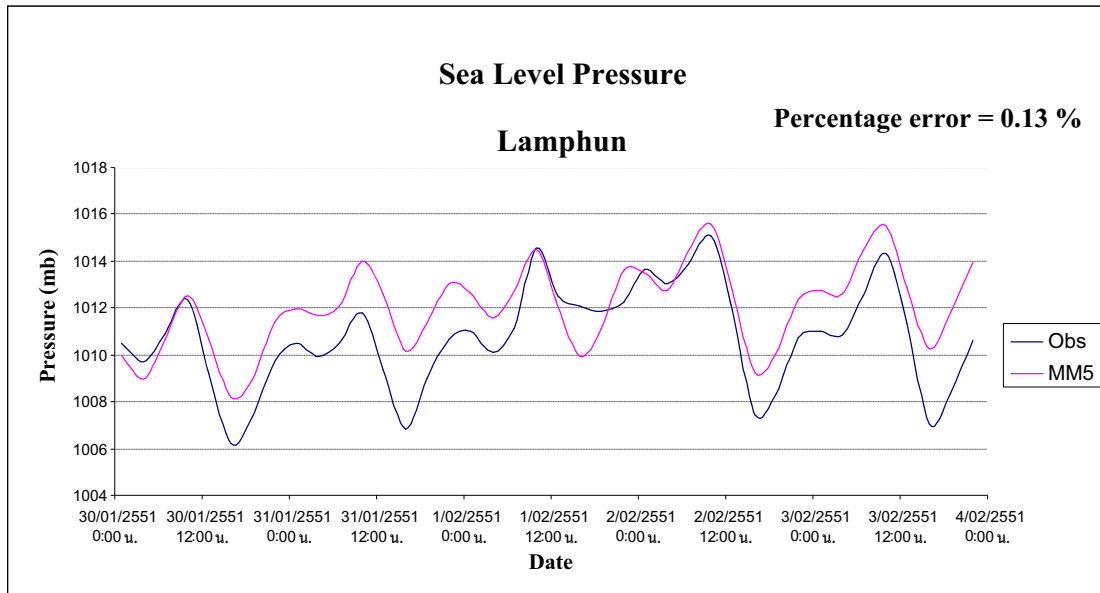
รูปที่ 3-32 แสดงการเปลี่ยนแปลงอุณหภูมิ ณ ศูนย์อุตุนิยมวิทยา จังหวัดเชียงใหม่



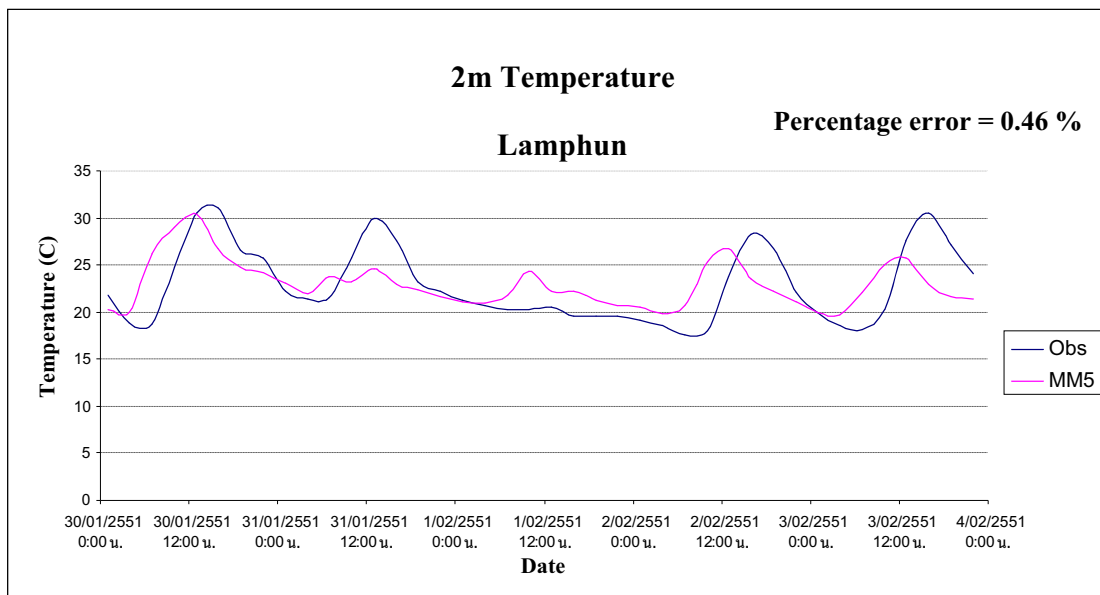
รูปที่ 3-33 แสดงการเปลี่ยนแปลงความชื้นสัมพัทธ์ ณ ศูนย์อุตุนิยมวิทยา จังหวัดเชียงใหม่



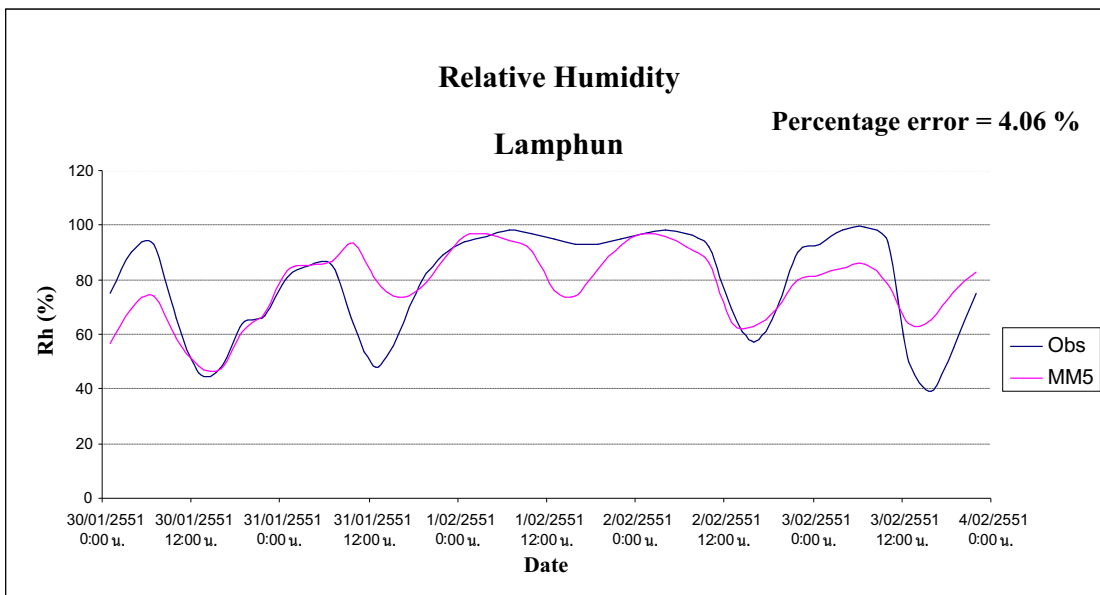
รูปที่ 3-34 ปริมาณฝนสะสม 3 ชั่วโมง ณ ศูนย์อุตุนิยมวิทยา จังหวัดเชียงใหม่



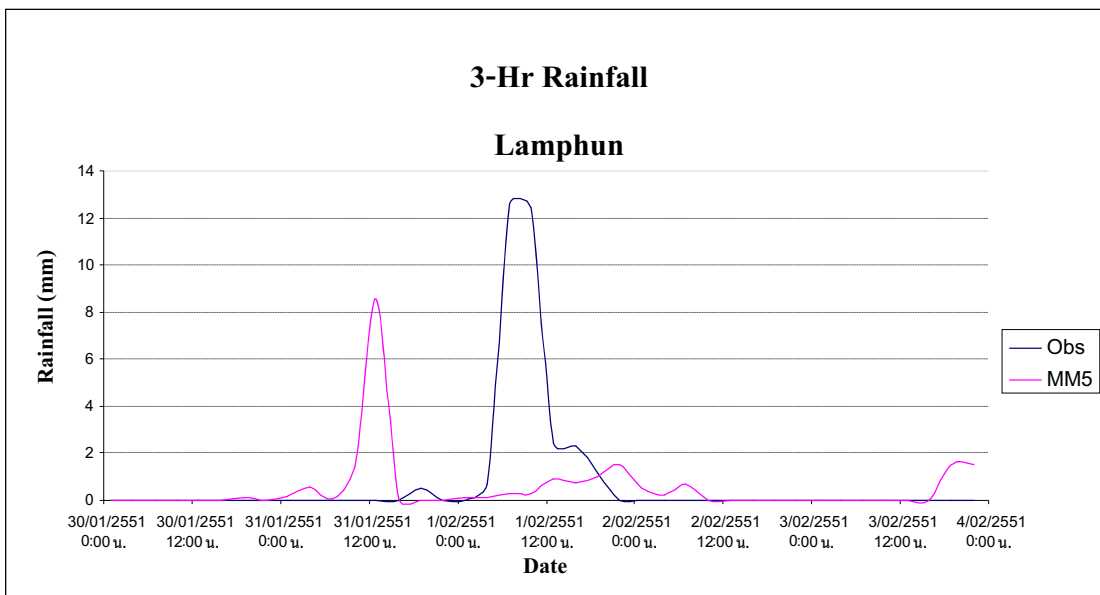
รูปที่ 3-35 แสดงการเปลี่ยนแปลงความดัน ณ สถานีตรวจวัดอากาศ จังหวัดลำพูน



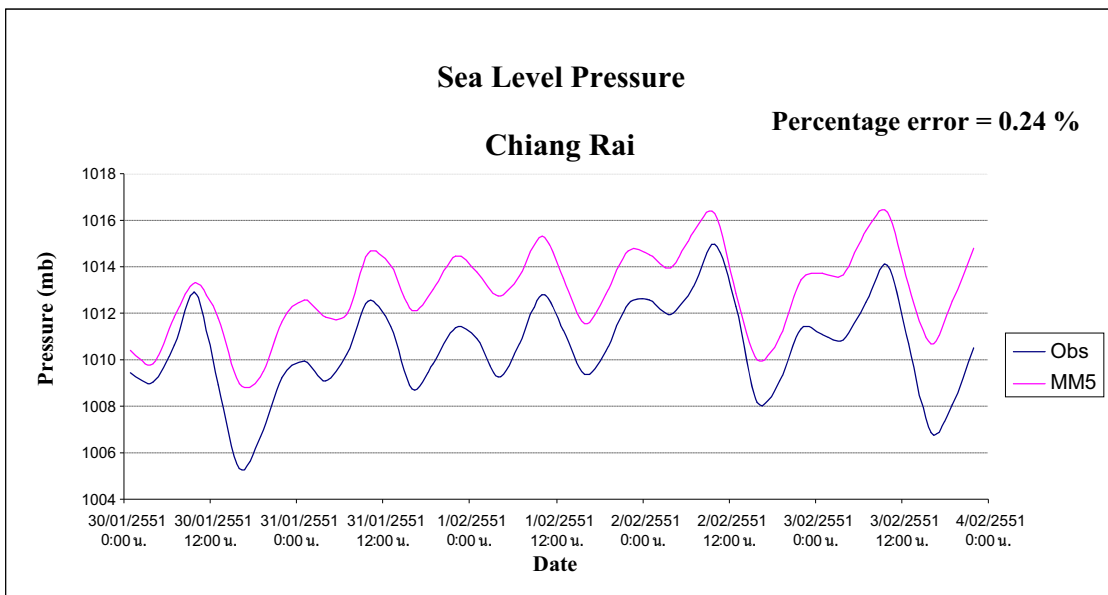
รูปที่ 3-36 แสดงการเปลี่ยนแปลงอุณหภูมิ ณ สถานีตรวจวัดอากาศ จังหวัดลำพูน



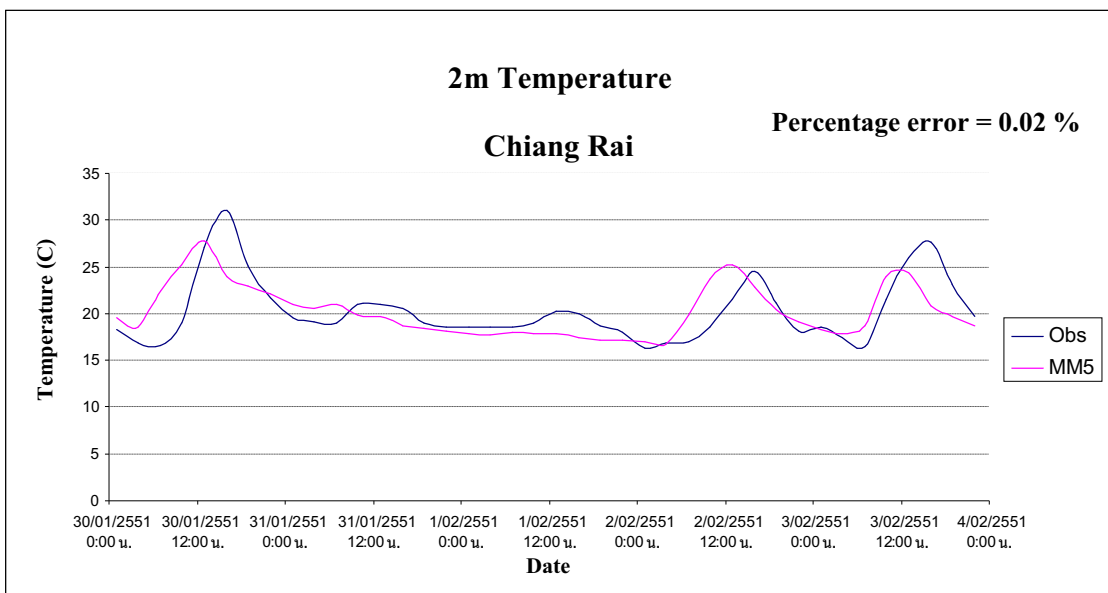
รูปที่ 3-37 แสดงการเปลี่ยนแปลงความชื้นสัมพัทธ์ ณ สถานีตรวจวัดอากาศ จังหวัดลำพูน



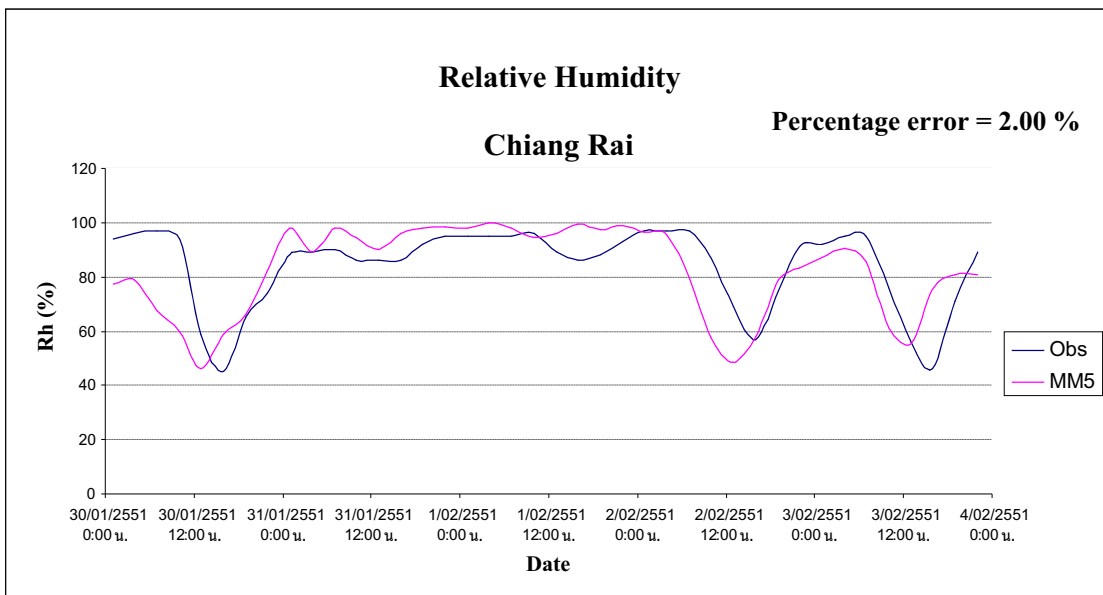
รูปที่ 3-38 ปริมาณฝนสะสม 3 ชั่วโมง ณ สถานีตรวจวัดอากาศ จังหวัดลำพูน



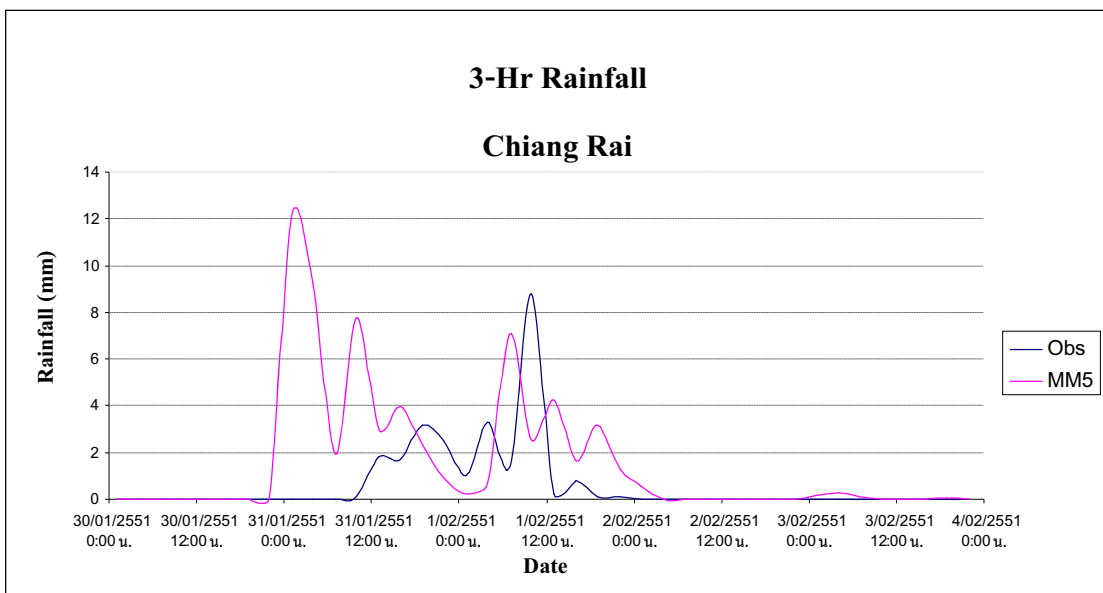
รูปที่ 3-39 แสดงการเปลี่ยนแปลงความดัน ณ สถานีตรวจอากาศ จังหวัดเชียงราย



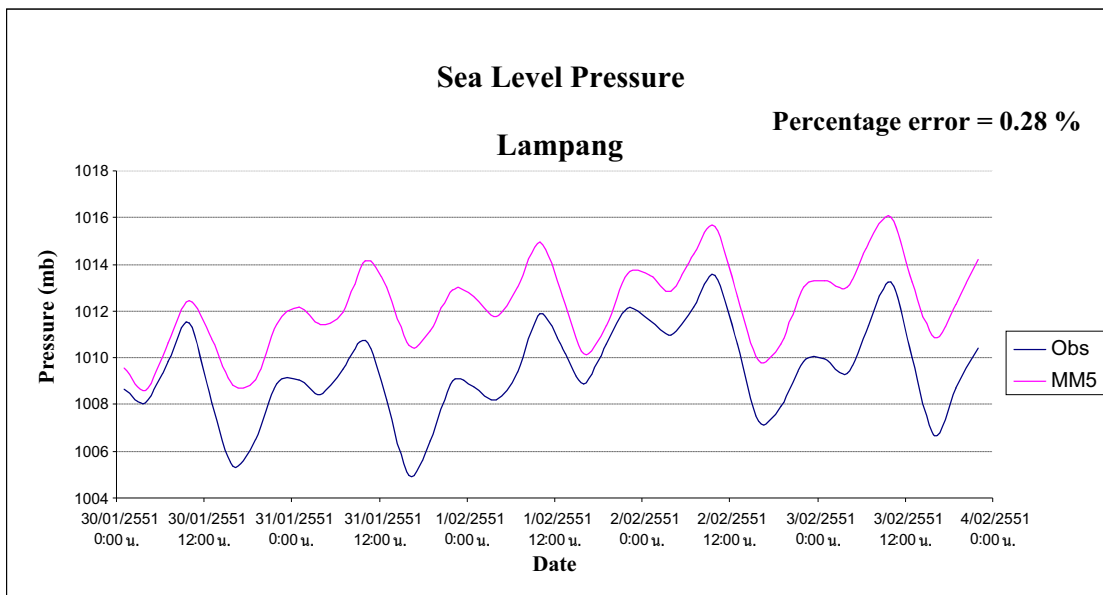
รูปที่ 3-40 แสดงการเปลี่ยนแปลงอุณหภูมิ ณ สถานีตรวจอากาศ จังหวัดเชียงราย



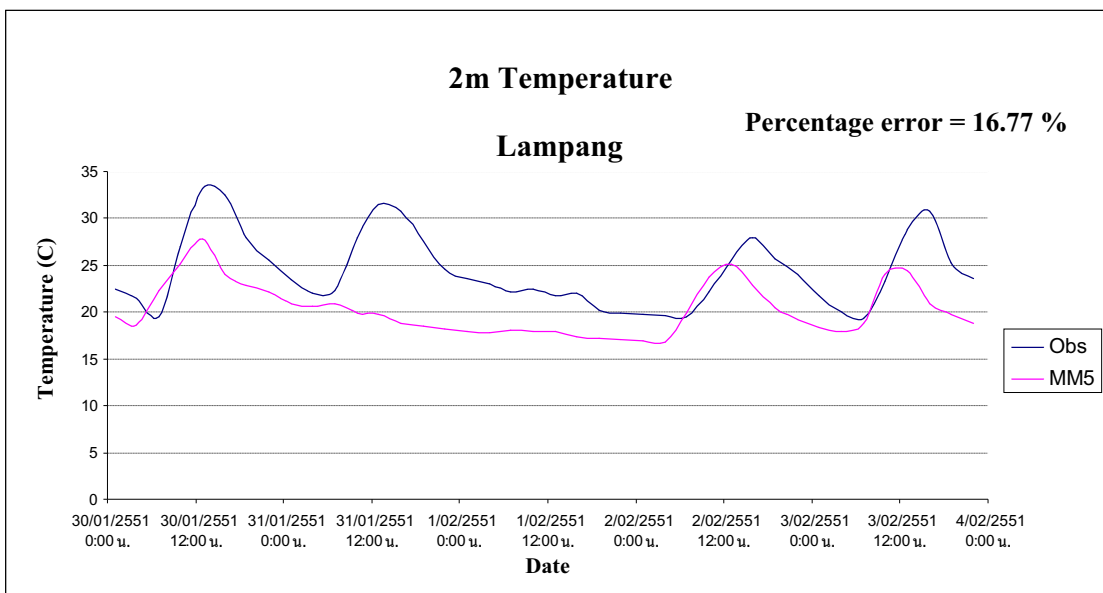
รูปที่ 3-41 แสดงการเปลี่ยนแปลงความชื้นสัมพัทธ์ ณ สถานีตรวจวัดอากาศ จังหวัดเชียงราย



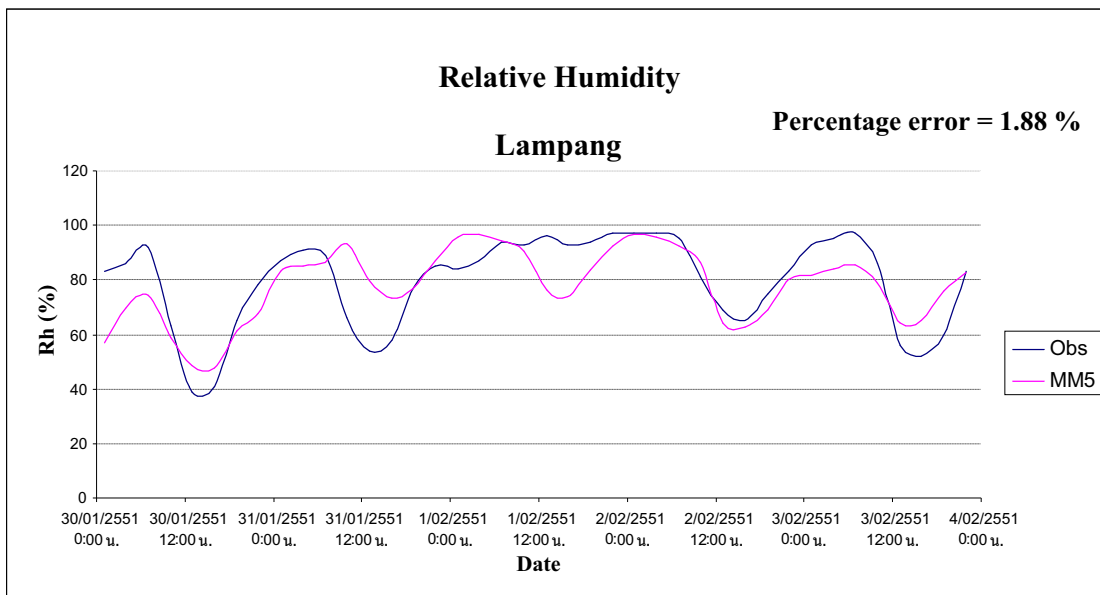
รูปที่ 3-42 ปริมาณฝนสะสม 3 ชั่วโมง ณ สถานีตรวจวัดอากาศ จังหวัดเชียงราย



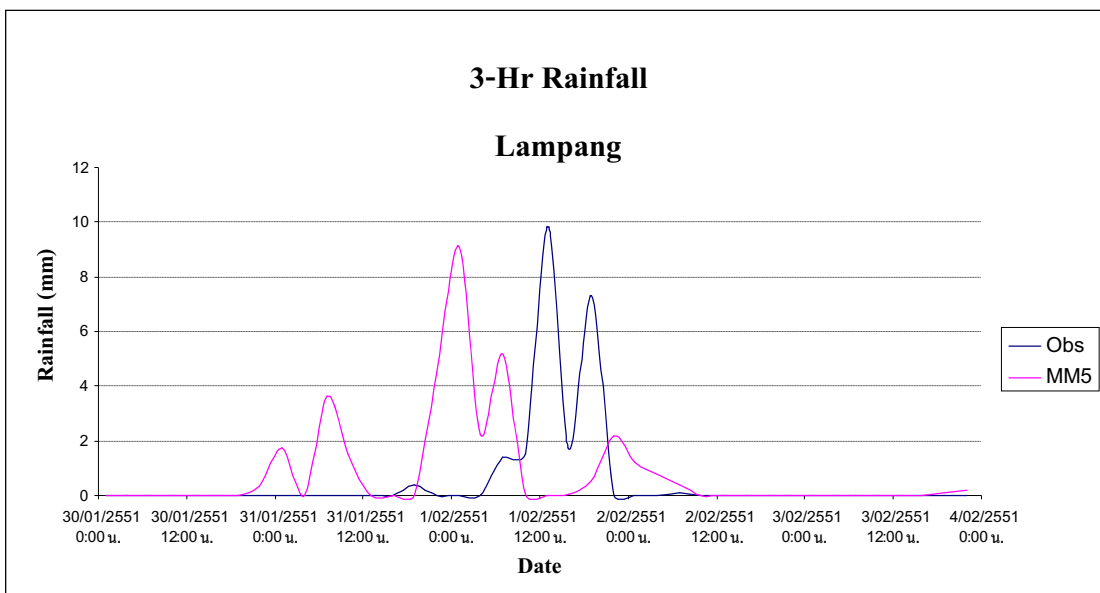
รูปที่ 3-43 แสดงการเปลี่ยนแปลงความดัน ณ สถานีตรวจวัดอากาศ จังหวัดลำปาง



รูปที่ 3-44 แสดงการเปลี่ยนแปลงอุณหภูมิ ณ สถานีตรวจวัดอากาศ จังหวัดลำปาง



รูปที่ 3-45 แสดงการเปลี่ยนแปลงความชื้นสัมพัทธ์ ณ สถานีตรวจวัดอากาศ จังหวัดลำปาง



รูปที่ 3-46 ปริมาณฝนสะสม 3 ชั่วโมง ณ สถานีตรวจวัดอากาศ จังหวัดลำปาง

จากรูปที่ 3-31 ถึง 3-46 แสดงการเปรียบเทียบผลการจำลองสภาพอากาศด้วยแบบจำลอง MM5 กับค่าตรวจวัดจากกรมอุตุนิยมวิทยา พบว่า มีแนวโน้มการเปลี่ยนแปลงที่สอดคล้องกัน

โดยทั้ง 4 สถานี ความกดอากาศมีค่า Percentage error อยู่ในช่วง 0.13 – 0.28 % ความชื้นสัมพัทธ์มีค่า Percentage error อยู่ในช่วง 0.43 – 4.06 % อุณหภูมิมีค่า Percentage error อยู่ในช่วง 0.019 – 16.77 % ในส่วนของฝน ตำแหน่งและเวลาที่เกิดฝนจะมีการทำการวิจัยกันอย่างกว้างขวางเพื่อเพิ่มประสิทธิภาพในการพยากรณ์ แบบจำลอง MM5 จึงเป็นเครื่องมือที่สามารถใช้จำลองสภาพอากาศได้อย่างถูกต้องแม่นยำ และเชื่อถือได้ในระดับหนึ่ง

การพยากรณ์อากาศ ซึ่งมีตัวแปรต่างๆ เปลี่ยนแปลงตลอดเวลาเป็นเรื่องที่ยากไม่เหมือนกับการทดลองในห้องปฏิบัติการที่สามารถควบคุมค่าต่างๆ ผลลัพธ์จากแบบจำลอง MM5 เทียบกับค่าตรวจวัดดังแสดงในรูปที่ 3-31 ถึง 3-46 ถือว่าอยู่ในระดับที่เชื่อถือได้ในระดับหนึ่ง วิธีการนี้ในปัจจุบันถือว่าเป็นวิธีการพยากรณ์อากาศที่ดีที่สุด อย่างไรก็ตามนักวิทยาศาสตร์และผู้เชี่ยวชาญในสาขาวิทยาศาสตร์ในประเทศไทยพัฒนา ก็พยายามที่จะให้ได้ผลลัพธ์ที่ดียิ่งขึ้น

บทที่ 4

สรุปผล

4.1 สภาพอากาศและการเกิดปัญหาหมอกควัน

การเฝ้าระวังการเกิดลมภาวะอากาศ พิจารณาจาก การพยากรณ์อากาศล่วงหน้า 5 วัน ใน พ.ศ. 2551 ตามเงื่อนไขสภาพอากาศของการเกิดปัญหาหมอกควันของเดือนมกราคม - มีนาคม พ.ศ. 2549 และ พ.ศ. 2550 ดังนี้

- ก. ช่วงเวลาที่ความกดอากาศสูงปกคลุมภาคเหนือซึ่งทำให้อากาศมีเสถียรภาพ
- ข. การเกิดอุณหภูมิผกผัน ซึ่งเป็นอุปสรรคต่อการฟุ้งกระจายตามแนวดิ่งของฝุ่นละออง จาก แผนภาพ Skew-T ที่แสดงจากผลลัพธ์ของแบบจำลอง MM5
- ค. ทิศทางและอัตราเร็วลมในและนอกบริเวณแอ่งเชียงใหม่ - ลำพูน
- ง. ปริมาณ hot spot ในและนอกบริเวณแอ่งเชียงใหม่ - ลำพูน

ปัจจัยที่มีผลต่อการสะสมของปริมาณฝุ่นละอองในอากาศ ได้แก่

1) ภูมิประเทศ

ภูมิประเทศของแอ่งเชียงใหม่ - ลำพูน เป็นลักษณะแอ่งกระทะที่มีเทือกเขาวางตัวในแนว เหนือ - ใต้ล้อมรอบ ทำให้ลมบริเวณข้างเคียงพัดผ่านด้านบนของแอ่งเชียงใหม่ - ลำพูน ลมพิวน์ในแอ่งส่งบ ส่งผลให้การฟุ้งกระจายของฝุ่นละอองในอากาศตามแนวราบเป็นไปได้ยาก ขณะที่ลมภูเขาระหว่าง เวลา กลางคืนเคลื่อนที่ลง ส่วนวารากกลางวันลมจะเคลื่อนที่ขึ้นบริเวณไหหลีฯ เคลื่อนที่ลงบริเวณหมู่บ้าน ก่อให้เกิดการสะสมของฝุ่นละอองในอากาศบริเวณแอ่งเชียงใหม่ - ลำพูน ได้

2) แหล่งกำเนิดฝุ่นละอองในอากาศ

แหล่งกำเนิดฝุ่นละอองในอากาศทั้งในและนอกบริเวณแอ่งเชียงใหม่ - ลำพูน อาทิ เช่น การเผา ใบไม้ โลหะ การเผาสัดสุดการเกษตร การเผาป่า ท่อไอเสียรถ การก่อสร้าง ฝุ่นจากถนน เป็นต้น โดยจำนวน และพื้นที่ของแหล่งกำเนิดจะมีผลต่อปริมาณความเข้มข้นของฝุ่นละอองในอากาศ เมื่อพิจารณาภาพ hot spot จากภาพถ่ายดาวเทียมปี พ.ศ. 2550 และ พ.ศ. 2551 พบว่า มีการเผาป่ามากทางตอนเหนือของประเทศไทย เช่น เชียงราย แม่ฮ่องสอน ตาก น่าน เชียงใหม่ เลย กาญจนบุรี และบริเวณชายแดนของประเทศไทยเพื่อบ้านทั้งผึ้งตะวันตกและตะวันออกของประเทศไทย ฝุ่นละอองจากการเผาป่านอกบริเวณแอ่ง เชียงใหม่ - ลำพูน ถูกพัดพาเข้ามาตามลมเพิ่มเติมกับปริมาณฝุ่นละอองที่มีแหล่งกำเนิดในแอ่งเชียงใหม่ -

ลำพูน เป็นสาเหตุที่ปริมาณฝุ่นสูงสุดในวันที่ 14 มีนาคม 2551 เนื่องจากมีการสะสมของฝุ่นมากย่างต่อเนื่อง และ ปี พ.ศ. 2550 มีจำนวน hot spot มากกว่า พ.ศ. 2551

3) สภาพอากาศ

3.1) ความกดอากาศสูง ทำให้บรรยายอากาศมีเสถียรภาพของอากาศ เนื่องจากช่วงฤดูหนาวประเทศไทยได้รับอิทธิพลจากมรสุมตะวันออกเฉียงเหนือ โดยความกดอากาศสูงจากประเทศไทยจะแผ่เข้าสู่ประเทศไทย สภาพอากาศจึงแห้งและเย็น อากาศเป็นแบบมีเสถียรภาพมาก (stable) และบ่อยครั้งพบชั้นอุณหภูมิผกผัน (inversion) เปรียบเสมือนแผ่นปิดกั้นไม่ให้ฝุ่นละอองในอากาศเคลื่อนที่ขึ้นได้ แต่ถ้าเป็นสภาพอากาศที่ไม่มีเสถียรภาพ (Unstable) ฝุ่นละอองจะฟุ้งกระจายขึ้นไปในอากาศได้ดี ลดความเข้มข้นของปริมาณฝุ่นในพื้นที่ จากการวิเคราะห์แผนภาพ Skew-T ด้วยแบบจำลอง MM5 ในช่วงเดือนมีนาคม ถึงเดือนมีนาคมของปี พ.ศ. 2549, พ.ศ. 2550 และ พ.ศ. 2551 ช่วงที่ความกดอากาศสูงปกคลุมประเทศไทย อากาศจะมีเสถียรภาพมาก บ่อยครั้งพบชั้นของอุณหภูมิผกผัน ประกอบกับมีการปลดปล่อยฝุ่นละอองสู่บรรยากาศจากแหล่งกำเนิดทั้งในและนอกพื้นที่เป็นจำนวนมาก ทำให้มีการสะสมของฝุ่นมากจนสังเกตได้ และรายงานการตรวจวัดปริมาณฝุ่นละออง (PM10) จากกรมควบคุมมลพิษ พบว่า วันที่ 14 มีนาคม พ.ศ. 2550 มีค่าเท่ากับ 383 ไมโครกรัมต่อลูกบาศก์เมตร และ วันที่ 24 มีนาคม 2551 มีค่าเท่ากับ 171.3 ไมโครกรัมต่อลูกบาศก์เมตร ซึ่งเป็นปริมาณที่เกินระดับมาตรฐานคุณภาพอากาศ

3.2) ลม โคลนลมมีผลต่อการกระจายตัวของฝุ่นละอองในอากาศตามแนวราบ ถ้าในบริเวณแอ่งมีลมสงบหรือความเร็วลมน้อยจะทำให้ฝุ่นละอองในอากาศสะสมอยู่บริเวณใกล้กันแหล่งกำเนิดในบริเวณแอ่งเชียงใหม่-ลำพูน ในทำนองเดียวกันลมอาจพัดพาฝุ่นละอองในอากาศจากพื้นที่ใกล้เคียงเข้าสู่แอ่งเชียงใหม่-ลำพูนก่อให้เกิดปัญหาหมอกควันได้

3.3) ฝน โดยฝนสามารถล้างฝุ่นละอองในอากาศบางส่วน ทำให้คุณภาพอากาศดีขึ้น ผลกระทบจากการวิเคราะห์ลมผิวพื้น ประกอบกับภาพ hot spot มีการพัดพาฝุ่นละอองจากพื้นที่ไฟป่าบริเวณนอกแอ่งเชียงใหม่-ลำพูนเข้ามาสะสมในแอ่ง เพิ่มเติมจากฝุ่นละอองที่มีในแอ่งเชียงใหม่-ลำพูน ทำให้มีปริมาณฝุ่นละอองมากขึ้นกว่าปกติ จนเกิดปัญหาหมอกควันในเดือนมีนาคม พ.ศ. 2550

จากการวิเคราะห์อิทธิพลของความกดอากาศสูงที่ปกคลุมประเทศไทยตอนบน ทิศทางและขนาดลมผิวพื้น เสถียรภาพของอากาศ ฝน ภาพ hot spot คาดว่าที่ยืน ประกอบกับลักษณะภูมิประเทศที่เป็นแอ่งขนาดใหญ่ พบว่า เชียงใหม่มีฝุ่นละอองในปริมาณที่มาก เนื่องจากการเผาในที่โล่ง การเผาวัสดุเกษตร และไฟป่าทั้งในและนอกแอ่งเชียงใหม่-ลำพูน เป็นสาเหตุหลัก

4.2 ข้อเสนอแนะการใช้แบบจำลอง MM5

- 1) เพื่อความรวดเร็วทันต่อเหตุการณ์ความมีระบบคอมพิวเตอร์สมรรถนะสูงและเครือข่าย อินเทอร์เน็ตความเร็วสูง สำหรับใช้ในการประมวลผลแบบจำลอง MM5 และ download ข้อมูล
- 2) กรณีที่ต้องการศึกษาในบริเวณพื้นที่อื่นควรปรับ Domain, Physics and Dynamics Schemes ให้เหมาะสมกับพื้นที่ที่ต้องการศึกษา
- 3) ควรปรับ Grid scale ให้เหมาะสมกับพื้นที่และขนาดการณ์ในบรรยากาศที่ต้องการศึกษา
- 4) ขนาดการณ์ต่างๆที่เกิดในบรรยากาศ ซึ่งเป็นเรื่องเฉพาะทาง ผู้สนใจควรศึกษาทฤษฎีต่างๆ และการใช้แบบจำลอง MM5 จาก User' guide ดังนี้
 - ทฤษฎีต่างๆ ควรศึกษาจากตำราที่เกี่ยวกับ Advanced Dynamic Meteorology และ Numerical Weather Prediction
 - วิธีการใช้แบบจำลอง MM5 อยู่ใน Web site ของ MM5 มี document และ source code สามารถดาวน์โหลดได้โดยตรง พร้อมกับ tutorial online
 - หากมีข้อสงสัยคณะผู้วิจัยยินดีที่จะให้คำแนะนำและตอบคำถาม
- 5) แบบจำลอง MM5 Version 3.7 เป็นแบบจำลอง mesoscale ที่ NCAR ได้พัฒนาขึ้น ความสามารถสูงสุดแล้ว และไม่รับ option เพิ่มเติมจากภายนอกอีก ดังนั้นการปรับแบบจำลองจึงปรับตาม option ที่มีอยู่ในแบบจำลองเท่านั้น

เอกสารอ้างอิง

- เจียมใจ เครือสุวรรณ และคณะ. 2551. “การจำลองสภาพการกระจายของฝุ่นละอองขนาดเล็กตามภาวะอากาศแปรปรวนในแอ่งเชียงใหม่”. รายงานวิจัยฉบับสมบูรณ์ พฤกษาคม สำนักงานคณะกรรมการวิจัยแห่งชาติ หน้า 107.
- อรรรณ วิรัลห์เวชยันต์. 2549. “การกระจายของฝุ่นละอองจากยานพาหนะในจังหวัดเชียงใหม่”.
- วิทยานิพนธ์วิทยาศาสตรมหาบัณฑิต สาขาวิศึกษา มหาวิทยาลัยเชียงใหม่
- Chen, F., Dudhia, J., 2001a. Coupling an advanced land-surface/hydrology model with the Penn State/NCAR MM5 modeling system. Part I: model implementation and sensitivity. *Monthly Weather Reviews* 129, 569–585.
- Chen, F., Dudhia, J., 2001b. Coupling an advanced land-surface/hydrology model with the Penn State/NCAR MM5 modeling system. Part II: preliminary model validation. *Monthly Weather Reviews* 129, 587–604.
- Dudhia, J., Gill, D., Manning, K., Wang, W., Bruyere, C., 2004. PSU/NCAR Mesoscale Modeling System Tutorial Class Notes and User’s Guide: MM5 Modeling System Version 3. National Center for Atmospheric Research, USA.
- Grell, G.A., Dudhia, J., Stauffer, D., 1994. A description of the fifth generation Penn State/NCAR mesoscale model (MM5). NCAR Technical Note, NCAR TN-398- STR.
- Grell, G.A., Emeis, S., Stockwell, W.R., Schoenemeyer, T., Forkel, R., Michalakes, J., Knoche, R., Seidl, W., 2000. Application of the multiscale, integrated MM5/chemistry model to the complex terrain of the VOTALP valley campaign. *Atmospheric Environment* 34, 435–1453.
- Holmes, N.S., Morawska, L., 2006. A review of dispersion modelling and its application to the dispersion of particles: An overview of different dispersion models available. *Atmospheric Environment* 40, 5902–5928.
- JICA, 1991. *Final report the study on the air quality management planning for the Samutprakran industrial district in the kingdom of Thailand*, Thailand.

PCD: The Pollution Control Department. Ministry of Natural Resources and Environment, Thailand.

Regional Daily Air Quality Data. [Online Source]

<http://www.pcd.go.th/AirQuality/Regional/default.cfm> [30 April 2008]

SensorsONE Ltd. *Altitude Units to Pressure Units Conversion.* [Online Source]

<http://www.sensorsone.co.uk/altitude-pressure-units-conversion.html> [4 May 2009]

University of Wyoming, Department of Atmospheric Science. *Sounding.* [Online Source]

<http://weather.uwyo.edu/upperair/sounding.html> [4 May 2009]

Villasenor, R., Lopez-Villegas, M.T., Eidels-Dubovoi, S., Quintanar, A., Gallardo, 2003. J.C. A mesoscale modeling study of wind blown dust on the Mexico City Basin, *Atmospheric Environment* 37, 2451-2462

ກາຄົນວກ

ตารางผนวกที่ 1 แสดงความสูงตามระดับความดันในหน่วยมิลลิบาร์ (Altitude Units to Pressure Units Conversion.) (ที่มา:<http://www.sensorsone.co.uk/altitude-pressure-units-conversion.html>)

ft	m	mb/hPa	psi	mmHg	inHg
0	0	1013.25	14.696	760	29.921
50	15.24	1011.42	14.669	758.63	29.867
100	30.48	1009.59	14.643	757.26	29.813
200	60.96	1005.95	14.59	754.52	29.706
300	91.44	1002.31	14.537	751.8	29.598
400	121.92	998.689	14.485	749.08	29.491
500	152.4	995.075	14.432	746.37	29.385
600	182.88	991.472	14.38	743.67	29.278
700	213.36	987.88	14.328	740.97	29.172
800	243.84	984.298	14.276	738.28	29.066
900	274.32	980.727	14.224	735.61	28.961
1000	304.8	977.166	14.173	732.93	28.856
2000	609.6	942.129	13.664	706.65	27.821
3000	914.4	908.117	13.171	681.14	26.817
4000	1219.2	875.105	12.692	656.38	25.842
5000	1524	843.073	12.228	632.36	24.896
6000	1828.8	811.996	11.777	609.05	23.978
7000	2133.6	781.854	11.34	586.44	23.088
8000	2438.4	752.624	10.916	564.51	22.225
9000	2743.2	724.285	10.505	543.26	21.388
10000	3048	696.817	10.106	522.66	20.577
15000	4572	571.82	8.2935	428.9	16.886
20000	6096	465.633	6.7534	349.25	13.75
25000	7620	376.009	5.4536	282.03	11.104
30000	9144	300.896	4.3641	225.69	8.8855

การเผยแพร่ผลงานวิจัย

1. เผยแพร่ทางวิทยุกระจายเสียง FM100 มหาวิทยาลัยเชียงใหม่ วันพุธที่ 28 กุมภาพันธ์ 2551 เวลา 9.30 น. และวันอังคารที่ 4 มีนาคม 2551 เวลา 9.30 น.
2. เข้าร่วมแสดงข่าวและนำเสนอผลงานวิจัย ต่อสื่อมวลชน จัดโดยมหาวิทยาลัยเชียงใหม่ วันศุกร์ที่ 22 กุมภาพันธ์ 2551
- 3.. เผยแพร่ทางสื่อโทรทัศน์ ช่อง TPBS วันจันทร์ที่ 18 กุมภาพันธ์ 2551 เวลา 11.00 น.
4. เข้าร่วมแสดงข่าวและเป็นวิทยากรบรรยาย ในหัวข้อเรื่อง”การพยากรณ์อากาศเพื่อการเฝ้าระวัง ปัญหาหมอกควัน ในแอ่งเชียงใหม่-ลำพูน” ณ โรงแรมเชียงใหม่ อิลล์ จัดโดย ทรัพยากรธรรมชาติและสิ่งแวดล้อมจังหวัดเชียงใหม่ วันศุกร์ที่ 15 กุมภาพันธ์ 2551
5. การเผยแพร่ผลการพยากรณ์ผ่านเวปไซด์ของหน่วยวิจัยและหน่วยงานที่เกี่ยวข้อง ดังนี้
 - เวปไซด์ของหน่วยวิจัยพิสิกส์บรรยายกาศ

<http://www.physics.science.cmu.ac.th/atmoslab>
 - เวปไซด์ศูนย์ประสานและเตือนภัยคุณภาพอากาศภาคเหนือ

<http://www.medcenter.med.cmu.ac.th/fogsmoke>
 - เวปไซด์สถาบันวิจัยสุขภาพ มหาวิทยาลัยเชียงใหม่

<http://www.rihes.cmu.ac.th/>
 - เวปไซด์สถาบันวิจัยสังคม

<http://intra.chiangmai.ac.th/~sri/>

ตารางผนวกที่ 2 รายละเอียดผลการดำเนินงานของโครงการตามแผนงานโดยสรุป

วัตถุประสงค์	กิจกรรม	ผลที่คาดว่าจะได้รับ	ผลการดำเนินงาน	หมายเหตุ
1. การวิเคราะห์สภาพอากาศและการเฝ้าระวังการเกิดลมภาวะอากาศ	1. การรวบรวมข้อมูลจากสถานีตรวจอัคคีภูมิสภาพอากาศในเดือนมกราคม-มีนาคม ปี พ.ศ.2549 และ 2550 เพื่อศึกษาความเข้มข้นของผู้น京城ของขนาดเล็กในแต่ละวัน	1. ข้อมูลความเข้มข้นของผู้น京城ของขนาดเล็กระหว่างเดือนมกราคม – มีนาคม ปี พ.ศ.2549 และ 2550	1. มีข้อมูลความเข้มข้นผู้น京城ของรายวัน ตั้งแต่เดือนมกราคม- มีนาคม ปี พ.ศ. 2549 และ 2550	
	2. วิเคราะห์การเปลี่ยนแปลงสภาพอากาศอาหาศอาทิตย์ เช่น อุณหภูมิ ความดัน ความเร็วลม ความชื้น เป็นต้น ที่ระดับพื้นผิวน้ำถึงระดับสูงประมาณ 7 กิโลเมตร ในช่วงเดือนมกราคม – มีนาคม ปี พ.ศ. 2549 และ 2550	2. ผลการวิเคราะห์การเปลี่ยนแปลงสภาพอากาศในเดือนมกราคม – มีนาคม ปี พ.ศ.2549 และ 2550	2. มีผลการวิเคราะห์การเปลี่ยนแปลงสภาพอากาศในรูปแบบของ image file ได้แก่ อุณหภูมิ ความกดอากาศ ความเร็วลม การเปลี่ยนแปลงอุณหภูมิตามแนวคิด ความเร็วลมตามแนวคิดของอากาศตามแนวคิด ตั้งแต่เดือนมกราคม – มีนาคม ปี พ.ศ. 2549 และ พ.ศ.2550	
	3. วิเคราะห์ความสัมพันธ์ระหว่างสภาพอากาศและการเกิดไฟป่าที่ทำให้แห่งเชียงใหม่-ลำพูน ประสบปัญหามลภาวะทางอากาศอย่างรุนแรง ในปี 2550	3. ความสัมพันธ์ระหว่างสภาพอากาศและการเกิดไฟป่า	2.3 การสะสมของปริมาณผู้น京城ในอากาศจะขึ้นอยู่กับพื้นที่ที่เกิดการเผาไหม้ และสภาพอากาศที่เอื้อต่อการสะสมของปริมาณผู้น京城ในอากาศ	
	4. ประเมินผลการพยากรณ์สภาพอากาศโดยแบบจำลอง MM5	4.ผลการจำลองสภาพอากาศ	4. มีผลการจำลองสภาพอากาศเชิงตัวเลข จากแบบจำลอง MM5	

	5. วิเคราะห์และ แสดงผลสภาพอากาศที่ ได้จากแบบจำลอง MMS	5. ผลการวิเคราะห์สภาพ อากาศที่ได้จาก แบบจำลอง MMS	5.1 มีผลการจำลองสภาพ อากาศในรูปแบบของ image file ได้แก่ อุณหภูมิ ความกดอากาศ ความเร็ว ลม ฝน การเปลี่ยนแปลง อุณหภูมิตามแนวดึง ความเร็วลมตามแนวตัด ขวางและการเคลื่อนที่ ของอากาศตามแนวดึง [*] เป็นต้น 5.2 วิเคราะห์สภาพอากาศ ล่วงหน้า 5 วัน ตั้งแต่เดือน มกราคม – มีนาคม พ.ศ. 2551 ในรูปแบบของ Text file	
	6. วิเคราะห์ Energy diagram เพื่อตรวจสอบ เสถียรภาพอากาศตาม แนวดึง	6. ผลการวิเคราะห์ Energy diagram	6. มีผลการวิเคราะห์ Energy diagram ได้แก่ - การเปลี่ยนแปลง อุณหภูมิตามแนวดึง - ความสามารถในการ เคลื่อนที่ของอากาศตาม แนวดึง - ความเร็วลมตามแนวราบ	
	7. เปรียบเทียบสภาพ อากาศที่ได้จากการ พยากรณ์กับสภาพ อากาศที่เกิดมูลภาวะ ทางอากาศในปีที่ผ่าน มา	7. ได้ผลการเปรียบเทียบ สภาพอากาศที่ได้จากการ พยากรณ์กับสภาพอากาศ ในปี พ.ศ. 2550	7. ผลการเปรียบเทียบ สภาพอากาศที่ได้จากการ พยากรณ์กับสภาพอากาศ ในปี พ.ศ.2550 พบว่า [*] ลักษณะสภาพอากาศของ แอ่งเชียงใหม่-ลำพูน เอื้อ ต่อการสะสมฝุ่นละออง ในอากาศเหมือนกัน	

	8. สรุปผลการวิเคราะห์สภาพอากาศจากการพยากรณ์อากาศ	8. ได้ข้อสรุปผลการวิเคราะห์สภาพอากาศ	8. ทีมวิจัยได้ทำการวิเคราะห์และสรุปผลการพยากรณ์อากาศล่วงหน้า 5 วัน ตั้งแต่เดือน มกราคม-มีนาคม พ.ศ. 2551 พร้อมทั้งเผยแพร่ผลการพยากรณ์อากาศผ่านทาง เวปไซด์ของหน่วยวิจัย และหน่วยงานที่เกี่ยวข้อง	
--	--	--------------------------------------	--	--

ลงนาม.....

(รศ.ดร.เจียมใจ เครือสุวรรณ)

หัวหน้าโครงการวิจัยผู้รับทุน

วันที่